

Министерство геологии СССР

СЕВЕРО-ВОСТОЧНОЕ ТЕРИТОРИАЛЬНОЕ ОРДЕНА ТРУДОВОГО
КРАСНОГО ЗНАМЕНИ ГЕОЛОГИЧЕСКОЕ УПРАВЛЕНИЕ

Уч.№ 073

ГОСУДАРСТВЕННАЯ
ГЕОЛОГИЧЕСКАЯ
КАРТА СССР

масштаб 1:200 000

Серия Магаданская

Лист Р-55-ХХХ

ОБЪЯСНИТЕЛЬНАЯ ЗАПИСКА

Составил В.Е.Литвинов

Редактор Л.А.Павлюченко

Утверждено Научно-редакционным советом Всегем
25 октября 1978 г., протокол № 19

Москва 1978

С о д е р ж а н и е

Стр.

	Стр.
Введение	3
Теологическая изученность	5
Стратиграфия	8
Интузивные образования	31
Тектоника	50
Геоморфология	60
Полезные ископаемые	66
Подземные воды	75
Оценка перспектив района	77
Литература	81
Список проявлений полезных ископаемых	83

В В Е Д Е Н И Е

Территория листа Р-55-ХХIII ограничена координатами $60^{\circ}00'$ – $60^{\circ}40'$, с.ш. и $140^{\circ}00'$ – $147^{\circ}00'$ в.д. Площадь ее 4102 км^2 . Она входит в Ольский район Магаданской области и Охотский район Хабаровского края.

На территории находятся лавовые нагорья Сунтаро-Кунгурского ряда, Эльгенджинская и Челомиджинская впадины Яно-Тауйской депрессии [3]. В северной части района рельеф среднегорий с абсолютными отметками вершин 1000–1300 м (максимальная отметка 1381 м) и относительными превышениями 600–800 м. В южном направлении, по мере приближения к впадинам, среднегорный рельеф переходит в низкогорный. Абсолютные отметки здесь уменьшаются до 500–700 м, относительные превышения до 100–300 м. В бассейнах Хеганджи и Элтанджи, занимаящих среднюю часть территории, в пределах впадин развит равнинный рельеф с абсолютными высотами 198–268 м.

Среднегорный рельеф характерен для междууречья Челомиджа–Рутыкан–Средняя, где вершины достигают высоты 1348 м, а относительные превышения равны 600–800 м. К Эльгенджинской впадине эти горы резко поникаются, на юго-востоке они постепенно сменяются низкогорьем с абсолютными высотами 600–800 м и относительными превышениями 300–500 м.

Гидросеть района принадлежит бассейну Охотского моря. Наиболее крупная река Чаломджа, протекающая в близмеридиональном направлении на восток. Ширина ее русла 50–70 м, глубина потока на перекатах 0,4–0,6 м, на плесах 2–3 м, скорость течения 3,5–5,5 $\text{km}/\text{ч}$, уклон долины 0,0023.

Левые притоки р. Чаломджа – реки Хиваткан, Бургатыкан, Хеганджа протекают в близмеридиональном направлении. Ширина их русел 30–50 м, глубина на плесах 1,5–2 м, скорость течения 4–5 $\text{km}/\text{ч}$, уклон

доли 0,0040–0,0095. Из правых притоков наиболее крупными являются

реки Кутаны и Буганда, ориентированные в северо-восточном направлении. В юго-западной части территории протекают реки Бутыкана и Средняя (верхние течения), впадающие в р. Калуу за пределами района.

Максимальный уровень воды в руслах наблюдается в сентябре, максимальный – в первой половине июня. Во время сильных дождей уровень воды поднимается на 1,5–2 м. По рекам Чаломда и Буганда возмущен сплав на лодках.

В долинах Элганджи, Кутаны и Хеганджи имеются небольшие (до 0,3 км²) озера терригенного происхождения.

Климат района континентальный, с коротким летом и продолжительной зимой. Среднегодовая температура ранна –11°, а среднеместная изменяется от –32° в январе до +12° в июле. Годовое количество атмосферных осадков 550 мм в северной части района и 650 мм в южной, причем с апреля по октябрь выпадает 90% годовой нормы осадков. Зимой преобладают северные ветры (скорость 2,4–3,7 м/с), летом – южные (скорость 2,3–2,8 м/с). Устойчивый снежный покров образует в конце сентября – начале октября и склонет во второй половине мая – начале июня. Реки замерзают в конце октября – начале ноября, вскрываются во второй половине мая. Большинство из них зимой перемерзает до дна, р. Челомда участками не замерзает.

Территория расположена в зоне чайки и горной тундры. В поймах рек и на низких террасах произрастают даурская лиственница, тополь, ква-чозеник, бересика, реже черемуха, рябина с подлеском из смородины, шиповника, яблоньки. Высокие террасы, верховья ручьев и склонов водоразделов до высоты 900–1000 м заняты лиственничным редколесьем с густым подлеском из кедрового стланника, кустарниковой бересики и ольхи. Выше распространены заросли кедрового стланника и карликовой бересики, значительные площади здесь покрыты ящелем или лишены растительности.

Лес для строительства имеется в долинах Бурганджана, Хеганджи, Бутыканы, Кутаны и др. Особено много его в долине Челомды, где участка строевого леса протягивается вдоль реки полосами шириной 2–3 км. Хороших сенокосных угодий в районе нет, однако выпас лошадей в летнее время возможен в долинах почти всех ручьев и рек. Постоянное население в районе отсутствует. Ближайший населенный пункт – пос. Новая Ляга расположенный в 65 км от восточной границы территории. Никаких дорог на территории не имеется. Перевозка грузов возможна вынужденным транспортом, а также на тракторах и вездеходах.

Обнаженность района удовлетворительная. Склоны гор покрыты малодолинами (1–3,5 м) чешуйчато-дельтаильных образований. Коленные обнажения наблюдаются в подножьях бортов долин и на вершинах хребтов.

ГЕОЛОТИЧЕСКАЯ ИЗУЧЕНИОСТЬ

Изучение территории началось в 40-х годах этого столетия с геологических исследований в масштабе 1:500 000. У.И. Кауптин (1943 г.), проводил исследования в верховых Кутаны, он закартировал здесь позднемеловые гранодиориты и туфы кислого состава. На левобережье Чаломды П.С. Петров [18] выявил морские отложения пермской системы, горнисчего яруса, угленосную молассу нижнего мела и вулканические образования мелового возраста. Рыхлые отложения впадки были условно отнесены к нижне- и среднететвертичным образованиям. Из итоговых пород описаны лейкократовые граниты, гранодиориты, диориты, слагающие штоки и массивы, которые сформированы по его мнению, в различные фазы меловой интузииной деятельности. Штоковым опробованием в аллювиальных водотоках обнаружены знаки золота (реки Чаломда, Хеганджи, Нелик), зерна кассiterита (рут. Принстон, Р. Хиватган) и киновари (рут. Гранитный). В верховых Кутаны установлено проявление каменного угля.

В 1949 г. Н.И. Дардымом была составлена геологическая карта масштаба 1:500 000 (лист Р-55-В), на которой отражены все имеющиеся к этому времени сведения о геологическом строении территории.

Правобережье Чаломды зачеркнуто в масштабе 1:500 000 партией под руководством К.Т. Зюбина [10]. Здесь выделены горнисчие отложения и вулканогенные образования мелового-палеогенового возраста. Среди итоговых пород описаны позднемеловые габбро и позднемеловые граниты и гранодиориты, слагающие Кава-Чаломдинский массив и небольшие штоки. Шлиховое опробование, выполненное Н.М. Ворониным, выявило знаки золотоносности аллювиев рек Бутыканы и Средней.

В 1955 г. Х.И. Кадулинным составлена геологическая карта западной части Охотско-Колымского водоразделя в масштабе 1:500 000. Для территории принципиально новым было выделение нижнепермских отложений в бассейне Верхней Хеганджи.

В бассейнах Хеганджи и Кутаны геологосъемочные работы в масштабе 1:500 000 проводили В.В. Заканикин [11], установленные на этом участке широкое развитие вулканогенных образований среднего и позднего составов. Первые из них были условно датированы рифским и поздним мелом, вторые – поздним мелом. В аллювиальных руслах обнаружены обогащением золота, зерна деревянного олова и шеита, а в верховых этого ручья выявлено рудоносование с содержанием золота 0,4 г/т.

В 1959 г. территория была охвачена геологосъемкой в масштабе 1:200 000 под руководством А.С. Жалова. Ряд выявленных аномалий из-

тесивность до 2200 граммов, на них взятые, недостаточно обостренно связана с полиминеральными среднего и высокого состава и лейкократовыми гранитами.

В 1960 г. Н.И. Ларин составил лист Р-55 Государственной геологической карты СССР №-фа I:1 000 000. В рамках листа Р-55-ХХIII вулканогенные образования среднего состава отнесены к нижнему ярусу, а высокого — к верхнему. Большинство интузий латировано ранним и средне-верхним. Реки и отложения плиоцен отнесены к современным и средне-верхним четвертичным соразованиям.

В 1963 г. Л.П. Закалкиным на площади листа проведена аэромагнитная съемка масштаба 1:50 000 с полутонами аэроаметрическими наблюдениями. По его данным в районе выделяются три зоны магнитных максимумов северо-западного простирания: Верхне-Челюскинская, Нижне-Бургатыканская и Верхне-Бургатыканская. Природы магнитных объектов остались неясными. Радиоактивных аномалий на площасти не обнаружено.

В 1964 г. И.В. Беликовым и М.Б. Горбачевой по материалам аэромагнитной съемки А.С. Кипова составлен лист Р-55-ХХIII карты аномального поля СССР №-фа I:200 000.

В 1965 г. под руководством В.А. Москалева выполнена гравиметрическая съемка масштаба 1:1 000 000 дассекта Чалондра. По данным этой съемки территория расположена в пределах Охотской и Яно-Колымской аномальных областей, различающихся глубиной затяжки кристаллитского фундамента (1-4 и 9-10 км соответственно). Граница между областями проходит по широтной зоне глубинного разлома, фиксируемого гравитационной ступенью.

В 1970-1971 гг. территория была покрыта геологической съемкой масштаба 1:200 000, которую осуществляли В.Е. Литвинов, Н.Н. Курдин, Д.Н. Олейников, В.К. Фомин. В результате этих исследований установлены нижнепермские отложения, ранее условно выделенные Х.И. Кацтыным, разделены на синклиналь толща верхнепермских пород, впервые обнаружены карниальные отложения. Вулканогенные образования позднего мела разделяены на нарачайскую, хольчанску, ульинскую и олекскую свиты. Изучены и охарактеризованы спорово-пыльцевыми комплексами разрезы четвертичных отложений в долинах основных водотоков. Шлифами опровергнуты выявлены значительные по площади очаги рассеянного золота и олова. Обнаружен ряд участков концентрации гидротермальных образований, характеризующихся повышенным содержанием золота. Эти исследования существенно изменили представления о перспективности района и явились основанием для организации здесь крупномасштабных геологосъемочных работ.

В 1971-1972 гг. в бассейнах Бургатыкана и Хетанды В.П. Карчевец и И.А. Бобирь [8] проводили геологическую съемку №-фа I:50 000 в комплексе с геофизическими наблюдениями. Геологосъемочные работы уточнили границы выходов карнильского и норийского ярусов, снят вулканогенный толщик верхнего мела и субвулканических ярусов, снят вулканогенные факты вулканитов. Шлифами опробованы подтверждена золотоносность аллювия водотоков; в флюзивах хольчинской и ульинской свиты выделены участки концентрации кварцевых и метасоматически измененных пород с содержанием золота до 3 г/т и серебра до 1000 г/т.

Результаты профильной и площадной магнитной съемки №-фа I:25 000 в целом согласуются с данными аэромагнитной съемки Л.П. Закалкина. Четкими положительными аномалиями выделяются субвуликанические тела базальтов и андезитов, покровы пород среднего состава и небольшие штоки диоритов. Профильная гравиметрическая съемка позволила уточнить мощность ряда отложений в неогенитонических ярусах.

На территории листа имеется толщесоснова №-сов I:100 000 и I:200 000 хорошего качества, аэрофотоснимки №-сов I:80 000 и I:35 000 залетов 1946 г. и 1969 г. соответственно.

За основу составления данного листа взяты материалы геологических съемок №-сов I:200 000 и I:50 000, выполненных В.Э. Литвиновым, В.П. Кацтыком, И.А. Бобирь в 1970-1972 гг. Из оставшихся работ использованы сведения о позициях ископаемых, элементы залежей горных пород, а также учтены находки ископаемой флоры и фауны. При составлении карт использованы аэрофотоснимки №-сов I:35 000 залетов 1969 г. Демонстрируемость снимков средняя. Демонстрируются четвертичные отложения, большинство разломов, субвулканические тела базальтов, частично — контуры интузий и выходы пластов в терригенных и вулканогенных толщах.

Представленная геологическая карта частично не увязывается с картой составленной в 1970 г. Т.В. Таринцевым на смычку с севера территории листа Р-55-ХХIII. Это объясняется выделением на рассматриваемой территории нижнепермских отложений, выключенных Т.В. Таринцевым в состав тасской свиты верхней перми, а также уточнением геологического строения вулканогенных образований в истоках Хетанды после проведения геологической съемки №-фа I:50 000 [8]. Другие съемочные листы не состоят.

По отношению к листу Р-55 Государственной геологической карты СССР №-фа I:1 000 000 на геологической карте листа Р-55-ХХIII №-фа I:200 000 легализовано геологическое строение в районах развития терригенных и вулканогенных пород: выделены съиты и ярусы. Да-

тирован возраст рыхких отложений неотектонических ящичин. Интуиции об образовании, отнесенные Н.И. Ларину к раннему мелу, датированы поздним мелом, учитывая данные К.Т. Зубрина [10] В.Е. Литвинова [14].

Определение ископаемой фауны и флоры, собранной на территории листа, проводили специалисты Северо-Восточного территориального геологического управления: Ю.М. Бычков, В.А. Зимин, В.М. Заводовский, В.П. Кинасов, Ю.Н. Попов, И.С. Репин, Г.Г. Филиппова и С.В. Мейен (АН СССР). Сыскательные анализы математических пород выполнены в Центральной химической лаборатории СВГУ: Н.Н. Базиевым, З.И. Карпичевой, М.В. Кондратиной, Л.А. Финогеновой. Спорово-пыльцевой анализ проб из четвертичных отложений выполнен А.Н. Курьяновой – сотрудником этого же управления.

Сведения о полезных ископаемых даны на карте по состоянию на 1 января 1973 г.

С Т Р А Т И Г Р А Ф И Я

На территории распространены территенные отложения нижней и верхней перми, верхнего триаса, нижнего мела, вулканогенные толщи верхнего мела и рыхкие четвертичные образования.

ПЕРМСКАЯ СИСТЕМА

Пермские отложения территории представлены морскими терригенными осадками верхнепермского комплекса и разделены на нижнепермские и верхнепермские. Литология последних весьма сходна с литологией верхней перми в Аян-Ярыкском антиклиниории, особенно в верхней и средней частях разреза. Нижняя часть (тасская свита), в отличие от Аян-Ярыкского антиклиниория, имеет довольно четкую границу с нижнепермскими отложениями и объем ее значительно меньше, чем в стратотипическом разрезе, описанном В.Д. Володиным на территории листа Р-55-ХЛ.

Н и ж н и й о т д е л (P₁)

Наиболее древние в районе нижнепермские отложения представляют преимущественно аллювиальную и распространены в бассейнах Верхней Хетанджи и Икара. Возраст отложений подтверждается находками ископаемой флоры. В соседнем районе, на территории листа Р-55-ХЛIII, в аналогичных отложениях известны также находки раннепермской фауны – *Metalegoceraspis aff. tschernyschewi* (Karp.) [16].

В бассейне верхнего течения Икара наблюдалась [14] следующая последовательность в залегании пород нижней перми¹⁾ (в м):

1. Темно-серые горизонтальнослойстые алевролиты • около 200

2. Темно-серые мелкозернистые песчаники, песчанистые алевролиты с горизонтально-слоистостью, линзовидно-слоистые алевролиты с прослоями глинистых сланцев и остатками *Kolymia quadrata* Lutk. et Lob. K. inoceratiformis Lich., K. pterinotiformis Popow, *Pleurotomaria* sp. . . . около 700

На правобережье Икрагана в кровле, вероятно, этой же пачки глинистые сланцы содержат остатки ископаемой флоры: *Rufioria ex gr. derzavintii* (Neub.) S. Meyen, *R. cf. rassakovae* S. Meyen, *Crassiservia ex gr. kuznetskiana* (Chachl.) Neub., *Pecopteris* ? sp., *Matuiria*, по заключению С.В. Мейена, раннюю перми.

Общая видимая мощность нижнепермских отложений достигает 1250–1300 м.

Кроме перечисленных органических остатков, в отложениях нижней перми собраны *Kolymia lenensis* Popow, *K. irregularis* Lich., *Allorigina gibbosa* Masl., *Mosspirifer* sp. (бассейн руч. Икара, описание В.М. Заводовского),

В е р х н и й о т д е л (P₂)

Граница между нижней и верхнепермскими отложениями на территории в известной мере условна и проводится по подошве песчаниковой толщи, содержащей в соседнем районе (20 км от северной рамки листа) остатки позднепермской фауны: *Licavrewia stuckenberghi* (Netsch.), *Nuculana magna* Popow [16].

Верхнепермские отложения характеризуются непрерывным разрезом и на основании литологических особенностей разделены на тасскую, аткансскую и кунинскую свиты.

Тасская свита (P₂ t_S)

Отложения тасской свиты представлены песчаниками с прослоями конгломератов, глинистых сланцев и распространены в бассейнах Икара и Верхней Хетанджи. Отнесение этой толщи к тасской свите основывается на

¹⁾ Здесь и далее разрезы четвертичных отложений описываются снизу вверх

но на ее стратиграфическом положении в разрезе перви – залегает на нижнепермских отложениях и перекрывается характерными породами атканской свиты.

В бассейне верхнего течения Икара на отложениях нижней перви согласно залегают [14] (в м):

I. Серые и темно-серые мелкозернистые песчаники с прослойками (1–1,5 м) горизонтальнослойстых алевролитов, вулканомиктовых гравийных, редко мелкогалечных конгломератов.	150–200
Остатки фауны колумна <i>irregularis</i> Lich.	около 600
2. Ритмичное переслаивание вулканомиктовых конгломератов, песчаников и глинистых сланцев с отпечатками <i>Reticularis</i> sp.	150
На левобережье руч. Хитрого и в приструйевой части Икара в аналитической пачке сформированы остатки <i>Ampullaria</i> sp., <i>Crassinervia</i> sp.	3,5
3. Темно-серые алевролиты, глинистые сланцы с прослойками вулканомиктовых песчаников	4
4. Серые вулканомиктовые гравелиты с прослойками (0,1 м) крупнозернистых песчаников	100
5. Серые вулканомиктовые гравелиты, перекрывающиеся (0,2–0,5 м) с неслоистыми серыми алевролитами	1,5
6. Неслоистие и горизонтальнослойстые серые алевролиты	8
7. Серые вулканомиктовые гравелиты	40–50
8. Неслоистые и горизонтальнослойстые серые алевролиты	30
9. Серые, темно-серые неслоистые и горизонтальнослойстые алевролиты с прослойками (0,3–3 м) мелко- и среднезернистых серых песчаников.	30
В алевролитах – расщительные остатки	30
10. Серые гравелиты с прослойками (0,2–0,5 м) крупно и среднезернистых песчаников и мелкогалечных вулканомиктовых конгломератов	50
Общая мощность таской свиты	900–950 м.

Атканская свита (Р_{2at})

Отложения атканской свиты представлены алевролитами, содержащими обломки и гальку щебузинных, вулканомиктовых пород, и распространены в междуречье Икара–Верхней Хетанджи, в бассейне нижнего течения Икара.

На правобережье Верхней Хетанджи на отложениях таской свиты согласно залегают [14] (в м):

I. Темно-серые "галечные" алевролиты, переслаивающиеся с глинистыми сланцами, прослойками (до 2 м мощности) вулканомиктовых гравийных, алевролитов	300
2. "Галечные" алевролиты с прослойками (1–2 м) неслоистых и линзовиднослойстых алевролитов	300
Общая мощность атканской свиты здесь 600 м.	

В бассейне нижнего течения Икара мощность атканской свиты уменьшается до 200–300 м, а алевролиты здесь содержат редкие остатки колумна sp. indet., *Pleurotomaria* sp. indet.

Нерчинская и Куллинская свиты неразделенные (Р_{2ntr+kl})

Отложения нерчинской и куллинской свит представлены песчаниками, алевролитами, гравелитами, конгломератами и распространены в междуречьях Икара–Верхней Хетанджи и Бургатыкана–Хитягчана, на правобережье Хитягчана.

В бассейне Верхней Хетанджи на породах атканской свиты согласно залегают [14] (в м):

I. Серые мелкозернистые вулканомиктовые песчаники	150
2. Темно-серые алевролиты	40–50
3. Зеленовато-серые горизонтальнослойстые аргиллиты	100
4. Серые вулканомиктовые гравелиты с прослойками (0,1 м) крупнозернистых песчаников	3
5. Серые вулканомиктовые гравелиты, перекрывающиеся (0,2–0,5 м) с неслоистыми серыми алевролитами	3,5
6. Неслоистие и горизонтальнослойстые серые алевролиты	4
7. Серые вулканомиктовые гравелиты	1,5
8. Неслоистые и горизонтальнослойстые серые алевролиты	8
9. Серые, темно-серые неслоистые и горизонтальнослойстые алевролиты с прослойками (0,3–3 м) мелко- и среднезернистых серых песчаников.	
В алевролитах – расщительные остатки	
10. Серые гравелиты с прослойками (0,2–0,5 м) крупно и среднезернистых песчаников и мелкогалечных вулканомиктовых конгломератов	
Общая мощность нерчинской и куллинской свит	390–400 м.
В междуречье Икара–Хитягчана отложения нерчинской и куллинской свит содержат редкие остатки колумна sp. indet., а их мощность здесь уменьшается до 200–300 м. В бассейне нижнего течения Хитягчана и в междуречье Бургатыкана–Хитягчана мощность этих отложений увеличивается, видимо, до 600–700 м.	
Булканомиктовые гравелиты и песчаники таской свиты на 70–90% состоят из обломками андезитов (преобладают), фельзитов, дацитов, плагиоклаза и кварца, погруженных в глинисто-тигроэпидотистый плагиоклаз и кварц, кварц и плагиоклаз чаще встречаются в виде плохо окатанных зерен.	

"Галечные" алевролиты атканской свиты - весьма характерные породы, состоящие из темно-серой алевритовой массы, в которой заложены серые, светло-серые обломки андезитов, дацитов, вулканических песчаников. Обломки пород - угловатые, окатанные; преобладающий размер 1-2 см, реже 5-6 см. Обычно они занимают 10-15% объема породы.

Вулканические гравелиты, конгломераты нерчинской и кулинской свит на 90% сложены хорошо окатанными обломками андезитов, фельзитов, реже алевролитов, кварца, плавиказа. Цемент карбонатный, хлоритовый.

ТРИАСОВАЯ СИСТЕМА

В е р х н и й о т д е л

Карнийский ярус (T_{3k})

Карнийские отложения представлены алевролитами, алевролитово-глинистыми сланцами, песчаниками. Распространены они на правобережье Хетанджи, в междуречье Бургатыкана-Хиватчана, на правобережье Хиватчана (ниже устья руч. Икара) и в бассейне верхнего течения Бутыкана.

В междуречье Бургатыкана-Хиватчана на отложениях нерчинской и кулинской свит верхней перми со стратиграфическим несогласием залегают серые мелкозернистые песчаники мощностью около 150 м. С остатками *Nalobia cf. superba Mojs.*, *Oxytoma cf. koniense Tschk.* [14]. Стратиграфически выше залегают норийские слои.

На правобережье Хетанджи, где подстилающие отложения не вскрыты, разрез карнийского яруса следующий [8] (в м):

1. Темно-серые песчаники с остатками *Nalobia cf. superba Mojs.*, *Oxytoma cf. koniense Tschk.* 20
2. Песчанистые линзовидно-слоистые алевролиты
3. Песчанистые линзовидно-слоистые алевролиты, переслаивающиеся со средне- и крупнозернистыми кварцево-полевошпатовыми песчаниками. В песчаниках линзы (толщиной до 0,2 м) кварцевых гравелитов и остатки *Nalobia ex gr. austriaca Mojs.*, *Oxytoma cf. moisisoviisi Tell.*, *Tessarpecten? sp. indet.*, *Chlamys sp. indet.*, *Gryphaea sp. indet.*, *Gastropoda gen. indet.* 50
4. Алевролиты, переслаивающиеся со среднезернистыми песчаниками 45

"Галечные" алевролиты атканской свиты - весьма характерные

сланцы, переслаивающиеся со светло-серыми песчанистыми алевролитами

6. Серые и темно-серые алевритово-глинистые сланцы с остатками *Nalobia sp. indet.*, *Eutolium sp. indet.*, *Ochotonota sp. indet.*

7. Преимущественно серые мелкозернистые сланцы

8. Зеленовато-серые алевролиты

9. Темно-серые алевритово-глинистые сланцы

Стратиграфически выше согласно залегают слои с остатками норийской фауны. Общая мощность карнийских отложений здесь 345 м.

В бассейне верхнего течения Бутыкана карнийский ярус сложен темно-серыми алевролитами с редкими остатками *Nalobia sp. indet.*

Выделяем мощность отложений здесь не менее 500 м.

Норийско-ретские (?) отложения терригении по литологическим особенностям и комплексам фаунистических остатков подразделяются на нижнеретские и верхнеретские (?) образования.

Нижнеретский подъярус (T_{3n_1})

Нижнеретские отложения представлены преимущественно песчаниками и распространены на правобережье Хетанджи, в междуречье Бургатыкана-Хиватчана, на правобережье Хиватчана, в междуречье Икара-Верхней Хетанджи и в бассейне верхнего течения Бутыкана. На правобережье Хиватчана и в междуречье Икара-Верхней Хетанджи нижнеретские отложения со стратиграфическим несогласием перекрывают верхнеретские осадки, в остальных районах - согласно залегают на карнийских породах.

На правобережье Хетанджи наблюдалась следующая последовательность в залегании нижнеретских пород [14] (в м):

1. Темно-серые мелкозернистые песчаники с линзами ракушечника. Остатки фауны: *Morotis ochotica (Keyss.)*, *M. ochotica var. densistrigata Tell* около 150
2. Темно-серые горизонтально-слоистые песчанистые известняки 40-50
3. Темно-серые песчаники с прослоями (1-2 м) ракушечников из створок *Morotis ochotica (Keyss.)*, *M. ochotica var. densistrigata Tell* 150

4. Зеленовато-серые турбесчаники с остатками *Aequirostes?* cf. *konkensis* (Tuchk.), *Chlamys* sp. indet. 80-100

Общая мощность отложений ниженорийского

подъяруса 420-450 м.

Кроме указанных остатков фауны в отложениях ниженорийского

подъяруса собраны: *Monotis scutiformis* var. *typica* (Kipar.) M., *scutiformis* cf. var. *davonellaformis* Kipar., *M. sublaevis* (Tell.),

M. cf. pinensis West., *M. cf. salinaria* (Schloth.), *M. ochotica* var. *pachypleura* Tell., *M. ochotica* cf. var. *euriuchis* Tell., *M. sabaikalica* (Kipar.), *Entolium ex gr. kolymense* Kipar.

Верхненорийский подъярус и речной (?) ярус ($T_{3.2+3}$)

Верхненорийские и речные отложения представлены алевролитами, алевритово-глинистыми сланцами с прослойми песчаников и распространены в междуречье Хетанда-Бургаликана, на правобережье Бургаликана и в бассейне среднего течения Хилагчана.

В междуречье Хетанды-Бургаликана на песчаниках ниженорийского подъяруса согласно залегают [14] (в м):

1. Тамно-серые алевритово-глинистые сланцы с маломощными (до 0,1 м) прослойми песчаников.

Ископаемые остатки: *Oxytoma* cf. *mojsisovičii* Tell., *Chlamys? privatissima* Polub., *Lima* cf. *transversa* Polub., *Ochotonota* sp. indet. 90-100

2. Песчаники с прослойми горизонтально-слоистых алевролитов. Остатки фауны: *Oxytoma* cf. gr. *mojsisovičii* Tell., *Tessarites* cf.

hemicalis (Tell.), *Gastropoda* gen. indet. 10

3. Тамно-серые линзовидно-слоистые алевролиты с редкими остатками *Reticularius* ex gr. *sabangularis* Mill., *Pleurocera* sp. indet. 350-400

Общая мощность верхненорийско-речных отложений около 500 м.

Не исключено, что верхние горизонты описанной толщи являются нижненорийскими образованиями. Норийские турбесчаники на 90% скелеты обломками (0,2-0,4 мм) андезитов, фельзитов, плагиоклаза и кварца. Примерно 40% обломочной части составляют заметно оплавленные обломки зернушниковых пород. Цемент — глинисто-хлоритовый, типа выполнения пор. Норийские известники сложены пакногипсом карбонатом (кальцитом), насыщенным тонкодисперсным органическим веществом, с фрагментами створок пелагиопод и членниками морских лилий. В небольшом количестве встречаются алевритовые и псамитовые обломки плагиоклаза.

В карбонатных алевролитах алевритовая фракция занимает около 70% объема породы, представлена угловатыми зернами кварца и андезита. Цемент — глинисты с хлоритом и серпентитом, базального типа. Норийские алевролиты отличаются от карбонатных тем, что в цементе первых наряду с глинистым веществом, хлоритом и серпентитом часто отвечается карбонат.

МЕЛОВАЯ СИСТЕМА

Нижнемеловые отложения представлены песчаниками, гравелитами, континентальными, алевролитами, упакисто-глинистыми сланцами, залегающими со стратиграфически, по-видимому, угловым несогласием на норийско-речных породах.

Об угловом несогласии судить трудно, так как в районе взаимоотношения нижнемеловой толщи с подстилающими породами в коренных обнажениях не наблюдалось; по данным Г.В. Таранцева [20] угловое несогласие выклинивается на соседней с севера территории листа Р-55-ХХII.

Нижнемеловые отложения распространены в бассейнах Бургаликана и Хилагчана, где они в той или иной мере окраинизированы исконной формой. В бассейне Средней породы нижнего мела остатки форы не содержат и выделены несколько условно.

Остатки ископаемой форы, собранные на территории, по заключению Г.Г. Филипповой, представлены формами широкого возрастного диапазона: они встречаются как в юрских, так и нижнемеловых отложениях. В соседнем с севера районе (бассейн Широкой) И.А. Пантелеймонова, проводившим геологические работы М-бю I:50 000, в основании толщи собраны остатки *Cladoporellus* cf. *aldanensis* Vach., [17], напоминающие, по заключению Г.Г. Филипповой, козынепородные форы. Таким образом, не исключено, что нижние горизонты рассматриваемой толщи имеют поздненорийский возраст.

В бассейне Бургаликана наблюдалась следующая последовательность залегания пород нижнего мела (в м):

1. Серые крупнозернистые турбесчаники 10

2. Тамно-серые глинистые сланцы 100-150

3. Среднезернистые песчаники, пересланые с пачками гравелитами около 100

4. Серые неслоистые, горизонтально-и косослоистые мелкозернистые песчаники около 150

5. Среднезернистые неслюнственные гравийные	
песчаники с отдельной мелкой галькой алевро-	
литом	около 150
6. Линзовиднослойистые мелкозернистые	
песчаники	около 200
7. Зеленовато-серые гравийные песчаники	
с прослоями мелкогальчатых конгломератов . . .	около 100
Общая видимая мощность нижнечетвертичных отло-	
жений достигает 810-850 м.	
На правобережье нижнего течения Бургальянана и в верховых	
реч. Близкого среди терригенных пород наблюдались прослои туфов ан-	
дезита.	
В бассейне Хиватчана о составе отложений нижнего мела можно	
судить по двум разрезам. На левобережье Хиватчана (в 5 км ниже ус-	
тла реч. Иквар) наблюдалась (в м):	
1. Желтоголубо-серый туфопесчаник	4,7
2. Серый туфопесчаник	5
3. Горизонтальнослойистый серый песча-	
ник	1,5
4. Пепельно-серый песчаник с расстиль-	
ним лягушатом	10
5. Горизонтально- и волнистослоистые	
темно-серые алевролиты	2
6. Темно-серые аргиллиты с углеродиро-	
ванными растительными остатками	2
7. Неслюнственные и горизонтальнослойистые	
темно-серые алевролиты	2,5
8. Серый туфопесчаник	0,4
9. Темно-серые алевролиты	0,3
10. Серый туфопесчаник	0,3
11. Неслюнственные и горизонтальнослойистые	
темно-серые алевролиты с растительным лягуш-	
том	0,8
12. Серый песчаник	0,2
13. Темно-серые аргиллиты с растительным	
лягушатом	0,3
14. Серый песчаник	0,6
15. Неслюнственные, горизонтально- и косо-	
сложистые темно-серые алевролиты с обильными	
растительными остатками	12
16. Серые пористые пепловые туфи	0,6
17. Темно-серые алевролиты	1,1
18. Темно-серые неслюнственные и горизонталь-	
нослойистые аргиллиты	I
19. Темно-серые аргиллиты с прослоями се-	
рих туфопесчаников и остатками <i>Equisetites</i> cf.	
<i>ferganeensis</i> Sew., <i>Cladophlebia</i> sp. indet.	2,3
20. Пепловые туфи	0,7
21. Темно-серые неслюнственные и горизонталь-	
нослойистые аргиллиты	1,6
22. Серый песчаник с растительными остат-	
ками	3,2
Общая видимая мощность по разрезу 53,2 м.	
Несколько иной характер наложения пород нижнего мела наблюдал-	
ся в верховьях Хиватчана, где отчетливо видна ритмичность отложе-	
ний. Видимая мощность изученных отложений достигает 40 м. В верхней	
части разреза наблюдались прослои (до 1 см) каменного угля. Мощ-	
ность ритмов изменяется от 0,3 до 1,6 м. Первый элемент ритма пред-	
ставлен песчаником, второй – волнистослоистым алевролитом, третий –	
улисто-глинистым или глинистым сланцем, аргиллитом. Ритмы встреча-	
ются как полные, так и неполные (состоящие из одного-двух элементов).	
П.С. Петров отмечает [18], что на правобережье Хиватчана,	
примерно в 2 км ниже приведенного разреза, наблюдается пласт камен-	
ного угля мощностью 0,1 м.	
Ископаемая фауна на территории представлена остатками: <i>Egu-</i>	
<i>setites</i> cf. <i>ferganeensis</i> Sew., <i>Ginkgo</i> cf. <i>concinna</i> Heer, <i>Cladophle-</i>	
<i>bis</i> cf. <i>haiburensis</i> (L. et H.) Brongn., <i>Pityophyllum angustifolium</i>	
(Nath.), <i>P. staratschini</i> (Heer) Nath., <i>Phoenicopsis ex</i> Gr.	
<i>angustifolia</i> Heer, <i>Rodozamites</i> sp., <i>Desmopeltis</i> sp.	
(угра – нижний ярус).	
Литокластические туфи андезита характеризуются псамитовой,	
мелкогравийной, литокластической структурой. Цемент фельзитовидный	
с хлоритом, улисто-глинистым веществом, мелкими обломками (0,02–	
0,04 мм) кварца и альбита и тонкораспыленным лейкоксеном. Одномоч-	
ная часть занимает около 80% объема породы и представлена андезита-	
ми, редко фельзитом. Преобладающий размер обломков 0,2–0,3 мм, ред-	
ко 1–2 мм.	
Пепловые туфи состоят из фельзитовидной пористой основной мас-	
сы с незначительным количеством (10–15%) острогольных обломков	
кварца, разломленных полевых шпатов, фельзита, редко алевролитов.	
Размер обломков 0,1–0,2 мм.	
Туфопесчаники на 70–90% объема сложены угловатыми обломками	
(0,3–0,5 мм) альбита, андезита, релея кварца, алевролитов, вулкани-	

ческого стекла. Цемент – пинистый, хлоритовый, базальтий и типа выполнения пор. Аксессорный минерал – циркон, рудные – ильменит, гидроокислы маэза. Песчаники на 60–70% объема состоят из улова-то-окатанных обломков (0,1–0,3 мм) албитита, кварца, редко андезитов, фельзита. Цемент – углисто-пинистый, хлоритовая с сердоликом и карбонатом, базальтий и типа выполнения пор. Аксессорные минералы – апатит, сфен; рудные – магнетит, ильменит.

Алевролиты обладают алевритовой, микрослоистой структурой. Цемент – хлоритово-сернистый базальтийского типа. Осломочная часть занимает 60–70% объема породы и состоит из улово-то-окатанных зерен кварца и албитита. Аксессорный минерал – циркон, рудный – ильменит.

Аргиллиты состоят из улово-то-окатанных обломков (0,2 мм и меньше) плагиоклаза и кварца, занимающих 10–15% объема породы и погруженных в гидрослюдистый цемент. Местами в цементе наблюдаются скопления карбоната и обрывки растительной ткани.

В е р х н и й о т д е л (K₂)

К верхнему меzu отнесены толщи вулканогенов кислого и среднего составов, залегающие с угловым несогласием на терригенных отложениях верхнего триаса. По-видимому, угловое несогласие существует также между верхнемеловыми эфузивами и нижнемеловыми терригенными породами, так как в последних наблюдались небольшие линейные складки с крутыми (60–70°) утлами наклина крыльев, совершенно не характерные для верхнемеловой толщи. Позднемеловой возраст вулканических пород признается по аналогии с соседним районом (территория листа 0-55-ХЧП), где в верховых руч. Нуторских Х.И. Каутининым [12] в основании вулканогенной толщи собраны остатки флоры: *Cephalotaxoris heterophylla* Holl., *C. afg. magnifolia* var. *successiva* Holl., *Sequoia obtuata* Koopl. . (определение А.Ф. Примовой). На севере вулканогенные толщи непосредственно прослеживаются в район, где они охарактеризованы приведенной флорой. В южной части, на правобережье Челомжи, позднемеловой возраст пород принят условно.

На территории верхнемеловых эфузивов различаются по составу на четыре толщи, первая (снизу) сложена лавами андезито-дацитов, андезитов, вторая – туфами, икнимбритами, лавами преимущественно кислого состава, третья – андезитами, четвертая – преимущественно икнимбритами кислого состава. Сложные разрезы вулканогенных сортирований описаны В.В. Закшициным [5, 6] в верховых Селивана и Арматы. Он отнес первую толщу к нараульской свите, вторую к хольчансской, третью – к ульинской, четвертую – к ольской. На основании сходства

вещественного состава пород с разрезами вулканитов в этих районах, верхнemеловые вулканогенные образования территории южного листа можно с известной долей условности параллелизовать с нараульской, хольчанской, ульинской и ольской свитами.

Нараульская свита ? (K₂иг?)

К нараульской свите условно отнесены покровы андезито-дацитов, андезитов бассейна руч. Бызкого и на левобережье Средней. Здесь покровы пород среднего состава залегают гипсометрически ниже вулканогенных образований кислого состава, к. по-видимому, подстилают их. Отсутствие коренных обнажений в этих районах создает известные трудности в изучении разрезов покровов. Нараульская свита в нижней части разреза сломана роговообмыканными андезито-дацитами, в верхней части преобладают двунаправленные андезиты. Мощность свиты колеблется от 200 м в бассейне руч. Бызкого до 400–500 м на левобережье Средней.

Андезито-дациты имеют порфировую структуру, основная масса микролитовая. Вкрашенники (0,2–2 мм) занимают по 15% объема породы и представлены андезитом № 45 и желтовато-зеленою роговой обманкой (с:№=15%; №-№=0,22). Основная масса сложена микролитами (0,1 мм и менее) плагиоклаза, левигированном стеклом, реже встречаются ксеноморфные зерна кварца, чешуйки хлорита, итюли и амфибола, аплит. Аксессорные и рудные минералы (до 2,5%) – апатит, магнетит, ильменит.

Хольчанская свита (K₂hl)

Свита сложена туфами, икнимбритами кислого состава и небольшими потоками липаритов, кварцевых трахитов. В основании свиты иногда наблюдаются линзы туроконгломератов. Вулканогенные образования хольчанской свиты распространены в верховых Китягчана, бассейне Хетанджи, бассейнах Иланги и Кутана, бассейне среднего течения Бытика-на; отдельные поля хольчанских пород наблюдаются по правобережью Челомжи.

В бассейне нижнего течения Хетанджи наблюдалась следующий разрез хольчанской свиты (в м):

1. Зеленовато-серые икнимбриты дацитового	
состава	• • • • • • • • • • • • • • • • • • 210-220
2. Светло-серые, преимущественно архиродные,	
реже порфировые липариты и их туфы	• • • • • • 120-150
3. Темно-серые горизонтальнослоистые пеп-	
ловые туфы	• • • • • • • • • • 10

4. Темно-серые, коричневые лавы и итниты-
брити кварцевых трахитов 150-200

Общая мощность 490-580 м.

Несколько иной разрез кольчансской свиты наблюдается на правобережье Челомки в районе устья ручья Рыбного. Здесь залегают (в м.):

1. Зеленовато-серые псамитовые кристалло-
литокластические туфы липарита с линзами пепель-
ных туфов 5

2. Серые горизонтальнослойные пепловые
туфы 4,5

3. Мелкогалечные туфоконгломераты с линзы-
ми черных ульстрик аргиллитов и серых пепловых
туфов 4

4. Мелкогалечные туфоконгломераты с прос-
ложами и линзами крупногалечных конгломератов
5. Светло-серые псевдогипсовые кристалло-лито-
кластические туфы липарита с обломками ульсто-
глинистых сланцев 2

6. Желтовато-серые филицальные липариты и
их туфы 80-100

7. Зеленовато-серые кристалло-литокласти-
ческие туфы, итнитоморфы дайкого состава . . . 160-200

Общая мощность 275-335 м.

В бассейнах Елагильки и Кутани кольчанская свита в нижней части разреза сложена темно-серыми, зеленовато-серыми туфами и итнитоморфами дайкого состава, в верхней части наблюдаются прослои темно-серых аргиллитов, пепловых туфов, покровы желтовато-серых кварцевых трахитов.

Мощность кольчансской свиты здесь достигает 400-500 м.

Лавы липаритов - зеленые, порфировые, иногда филицальные по-
роды с фельзитовой, микропойкилитовой, основной массой. Вкраплен-
ники (размером 1-7 мм) занимают до 10-25% объема породы и представ-
лены альбитизированным и серпентинизированным плагиоказом, реже
кварцем. Кварц также образует небольшие скопления зерен в основной
массе и иногда выполняет липариты. В основной массе наблюдаются че-
шуйки хлорита, серпента, единичные зерна циркона, апатита, турмали-
на. Рудные минералы - магнетит, ильменит.

Лавы и итнитоморфы кварцевых трахитов [8] темно-серые, корич-
неватые филицальные породы с белыми акроплениками (1-3 мм) плагио-
каза. Лавы обладают фельзитовой основной массой со следами тур-
малина и линзами стекла, раскристаллизованного до образования гро-
зчатых, аксиолитовых и радиально-лучистых структур. В итнитоморфах

наблюдаются участки основной массы с реликтами микротигматитовой структуры. Вкрапленники занимают 22-23% объема породы, представлены пластиоклазом № 25-30; часто альбитизированным и серпентинизированным, реже кварцем и псевдоморфозами хлорита по цветному минералу. В итнитоморфах 10-11% объема занимают обломки (1-2 мм) город, представ-
ленных основной массой с трахитовой, микропойкилитовой, фельзито-
вой структурами. Аксессорные минералы - циркон, апатит, рутине -
магнетит, ильменит. По химизму эти лавы и итнитоморфы (табл. I, про-
бы 20, 21, 22) отличаются от них повышенным содержанием известня и повышением - кремнекислоты.

Итнитоморфы дайкого состава характеризуются кристалло-лито-
гической, литокластической структурой, основная масса стекловата,
итнитоморфовая, псевдогипсальная. Платоклаз (18-24% объема) на-
блюдается в виде прямугольных, таблитчатых зерен, обломков крис-
таллов размером 0,1-2 мм, обычно замещен альбитом, серцитом, кар-
бонатом, хлоритом, релея эпидотом, неодимом. Цветной минерал (до
4% объема) представлен псевдоморфозами хлорита по альбиту. Облом-
ки пород (30-40% объема) - изометричной формы, типа "фъямле" раз-
мером 0,3-6 мм, представлены андезитами, девонтридиоритами стек-
лом. Аксессорные минералы - циркон, апатит; рудные - магнетит и
ильменит. По химическому составу (табл. I, проба 19) описанные поро-
ды близки дайкам, по Р.Дэни.

Туфы липарита, липарита по составу весьма сходны с итнитоморфами, отличаются от них меньшей степенью сваренности, отсутствием псевдо-
филицальности и ярко выраженных "фъямле", довольно частым присутст-
вием обломков осадочных пород. Среди туфов преобладают псевдогипсовые
кристалло-литокластические разности. Разделение туфов по составу
(липаратовые, дайкитовые) несколько условно: к туфам липарита отве-
сены породы, в обломочной части которых существенную роль играет
кварц; там, где кварц не обнаружен или присутствует в единичных
зернах, туфы отнесены к дайкитам.

Туфоконгломераты - породы бурого цвета, цемент - туфовый, ба-
зальный, местами сопротивления. Талька угловато-окатаная, окру-
гая или уплощенная размером от 1-3 до 10-15 см, редко встречаются
валуны диаметром до 35 см. Талька и валуны покрыты коркой гипса-
лов железа, представлены серыми липаритами, туфами кислого состава,
кварцитами, ульисто-глинистыми сланцами.

Ульинская свита (К₂ч1)

Буяногенные породы Ульинской свиты сложены двупроксеноными
андезитами, реже встречаются брекчевые лавы андезита, траханде-
зиты. Покровы андезитов распространены в бассейне Хетанджи, на

правобережье Чагодыши, в верховых Бутыкана. В бассейне Бутыкана среднего течения Хетанды, где в кольчансской свите развиты кварцевые трахиты, в небольших покровах ульинской свиты появляются трахиандрезиты. Здесь наблюдаются следующий разрез (в м):

1. Зеленовато-серые фрекцииевые лавы андезита	10
2. Темно-серые трахиандезиты	15
3. Тёмно-серые андезиты с аквадиленниками (до 5 мм) птицоклазом	25

Общая видимая мощность 50 м.

В бассейне руч. Нелина, где свита залегает на кольчанских породах и перекрываетсь ольской свитой, мощность покрова андезитов колеблется от 100 до 300 м. В бассейне Еганды мощность ульинской свиты достигает 300–400 м.

Двупироксеновые андезиты обладают порфировой структурой, основная масса гипалопилитовая. Вкрапленники (0,2–4 мм) занимают до 44% объема породы, представлены птицоклазом № 35–50, моноклинным кальцитом, 2V=+60°; № Jr = 0,025) и ромбическим (с №=0; 2V=86°; № Jr=0,010) птироксенами. В основной массе встречаются скопления карбоната и альбитита. Аксессорные минералы – альбит, циркон, рудный – магнетит. Вторичные изменения выражены в серпентизации и карбонатизации птицоклаза, замещении птироксена баситом.

Подобные двупироксеновые андезиты наблюдались в составе нарядильской свиты.

Брекчиевые лавы андезита содержат многочисленные угловатые обломки (до 5–10 см) основной гипалопилитовой массы андезитов. Связанная масса метапироксеноидная, сильно карбонатирована; цветной металлический – замещен хлоритом, птицоклаз албигитизирован и серпентизирован.

По химическому составу андезиты ульинской свиты (табл. I, проба 23) близки андезитам, по Р.Дэни, отличаясь несколько пониженным содержанием известия.

Трахиандезиты, характеризующиеся порфировой структурой, основная масса микролитовая. Вкрапленники (1–1,5 мм) занимают около 10% объема породы, представлены птицоклазом № 50–55, албигитизированным кальцитом, псевдоморфом шпатом и моноклинным птироксеном. Вкрапленники обнаруживают ступенчатую ориентировку. Основная масса сложена микролитами птицоклаза (часто это албит) и ксенофоромирами

зернами моноклинного птироксена. Аксессорный минерал – альбит, рудный – магнетит. Химический состав породы (табл. I, проба 24) обнруживает ее большое сходство с латитами, по Р.Дэни.

Ольская свита (К2ол)

Свита сложена в основном итнимбритами кислого состава. Покровы ольских пород залегают на вулканогенных образований кольчанско-ой, ульинской свит, реже на отложенных нижнего мела. Распространены породы на правобережье Бутыкана (выше излучины), в бассейне верхнего течения Еганды и в верховых Бутыкана.

В бассейне руч. Нелина и в верховых Бутыкана в основании ольской свиты залегает горизонт турбоконгломератов мощностью от 2–5 до 30–50 м [8]. Конгломераты окраинены в темно-серый цвет, сложены мелкой и крупной хорошо окатанной галькой, реже валунами андезитов, алевролитов, среднезернистых биотитовых гранитов. Цемент турбоконгломератов с видимыми зернами кварца. Стратиграфически выше залегает толща серых, зеленовато-серых, желтовато-серых в различной степени сваренных итнимбритов с многочисленными обломками кварца, мощностью от 300–400 до 600–650 м. В верховых Бутыкана итнимбриты иногда окрашены в темно-серый цвет за счет присмеси углисто-глинистого вещества. Здесь же наблюдаются маломощные (5–10 см) линзы темносерых аргиллитов, иногда с растительным лептигитом.

Общая мощность ольской свиты достигает 700 м.

Структура итнимбритов – кристаллогистическая, дикокластическая, основная масса – стекловатая, итнимбритовая, псевдофициальная с обломками стекла типа "Фьюмме". Птицоклаз (24–31% объема) встречается в виде обломков кристаллов размером 0,3–2 мм и относится к ольиковому № 20–21. Калинитовый полевой шпат (до 2%) наблюдается в виде призматических зерен, обломков кристаллов размером 0,3–0,8 мм; бесцветный, светлый, двусосный, отрицательный, с небольшим (20–30°) углом оптических осей. Кварц (15–16%) встречается в виде оваловидных зерен, обломков кристаллов размером 0,2–3 мм. Тёмно-коричневый блогит (2,5–3%) наблюдается в виде деформированных пластинок, щечек размером 0,1–0,6 мм. Обломки пород (12–18%) изометричной формы с неровными краями, размер от 1–5 до 10–15 мм, наиболее часто представлены липаритами, дацитами, реже андезитами, кварц-полевошпатовыми алевролитами. Аксессорные минералы – циркон, альбит; рудный – магнетит. Вторичные изменения заключаются в альбитизации, серпентизации птицоклаза и хлоритизации блогита.

По химическому составу итнимбриты ольской свиты (табл. I, пробы 25, 26, 27) приближаются к липаритам и дацитам, по Р.Дэни. Их

нибрити датичного и липидитового состава различаются между собой значением натрия в сумме щелочей (характеристика "Н" соответственно равна 71,6 и 60,7).

ЧЕТВЕРТИЧНАЯ СИСТЕМА*

Четвертичные образования на территории представлены аллювиальными, ледниковыми, водно-ледниковыми, озерно-болотными отложениями. По составу спорово-пыльцевых спектров и геоморфологическим соотношениям выделяются нижнечетвертичные, верхнечетвертичные и современные образования. Среднечетвертичные отложения не установлены, можно предполагать, что они залегают во впадинах под более молодыми образованиями.

Нижнечетвертичные аллювимальные ледниковые отложения (Q₁)

Эти отложения установлены на правобережье нижнего течения Хентаки в пределах Челоминской впадины, где они слагают покров надпойменной террасы высотой 4-4,5 м. В 14 км выше устья Хентаки разрез этой террасы следующий (в м):

1. Почвенно-растительный слой	0,4
2. Буровато-серая супесь	0,6
3. Средняя и мелкая хорошо окатанная	

галька, грубый кислого состава, липаритов, ан-

дезитов с песком, гравием и глиной (до 10%) 3

На глубинах 1,2 и 2,1 м были отобраны палеогеологические прослои, имеющие сходные спорово-пыльцевые спектры. В спектрах несколько превалирует группа спор (52,6-48,3%), в которой на первом месте стоит споры Рододендронов (47,4-43,4%), на втором — Эврглиптум (39,9-37%), в меньших количествах встречаются Бурагамаки-Лизигтана (8,8-9,3%), вугалес (2,6-4,7%) и Орниоденасе (1,3-5,3%). Большой процент составляет и пыльца древесно-кустарниковой группы (40,5-46,2%). Семейство Betulaceae (59,7-51%) разнообразно по видовому составу: Corylus (1,1-1,4%), Betula древовидная (5,2-3,6%),

* Возможно, на правобережье руч. Колчана под четвертичными образованиями залегают плиоценовые глины.

** Здесь и далее разрезы четвертичных отложений описаны в стратиграфическом порядке выше

Betula Middendorffii (5,1-5,2%), *Betula* sect. *Nanae* (23,8-7,7%), *Alnus* (2,3-8,4%), *Alnaster* (22,2-16,8%). Семейство Pinaceae (40,3-49%) еще больше видами: *Picea* sp. (4,5-5,2%), *Picea* sect. *Bungei* (6,2-8%), *Tsuga* (4,5-6,3%), *Pinus* sp. (5,7-2,4%), *Pinus* n/p *Haploxyylon* (13,1-21,2%), единичные зерна *Larix*, *Picea* sect. *Omocia*. Недревесная растительность (6,9-5,5%) состоит из пыльцы *Cyperaceae*, *Ericales*, *Gymnospermae* и других. С известной долей условности данный спектр можно считывать раннечетвертичным межледниковием.

В 2 км выше описанного разреза биота выполнена профильная гравиметрическая съемка (рис. I, Б), по данным которой мощность различных отложений на правобережье Хентаки равна 140-180 м, на левобережье — мощность значительно уменьшается до 100-80 м, затем возрастает до 300 м. По-видимому, в основании этой толщи могут залегать и более древние образования — плиоценовые.

Нижнечетвертичные (?) аллювимальные отложения заложки раннеплейстоценового оледенения (Q₂?)

На левобережье Западника, правобережье Хентаки, в бассейне нижнего течения Елагинки эти отложения слагают террасы высотой до 150-160 м, значительно преобразование делуданием. В меандре р. Бургаликана-Кызылтана (бассейн руч. Колчана) нижнечетвертичные отложения сложены холмистым водоразделом с абсолютными высотами 500-520 м и относительными превышениями 180-200 м. К нижнечетвертичным образованиям отнесен также аллювий верховьев руч. Шахата, выпасавшийся ложе древней долины, которая вознялась на современным руслом Бургаликана на 140-150 м.

Наиболее детально нижнечетвертичные отложения изучены в меандре Бургаликана-Кызылтана (бассейн руч. Колчана), где проанализировано 10 широков и выполнено комплекс геофизических работ [8], по данным которых составлен предполагаемый разрез толщи рыхлых образований (рис. I, А).

Интерпретация кривых вертикального электропроводирования позволяет предположить, что на правобережье руч. Колчана нижнечетвертичные отложения залегают на плиоценовых (?) глинах. Мощность первых 20-60 м, последних 50-130 м. Эти две горизонты разделяются по электропроводности: сопротивление верхнего 3000-10000 омм, нижнего — 150-400 омм.

На правобережье руч. Колчана нижнечетвертичные отложения, вскрытые 4 шурфами с максимальной глубиной 19,2 м на абсолютных высотах 380; 420; 500; 524 м, представлены галечниками с валунами (до 20%) гранитов. Размер последних не превышает 30-40 см в

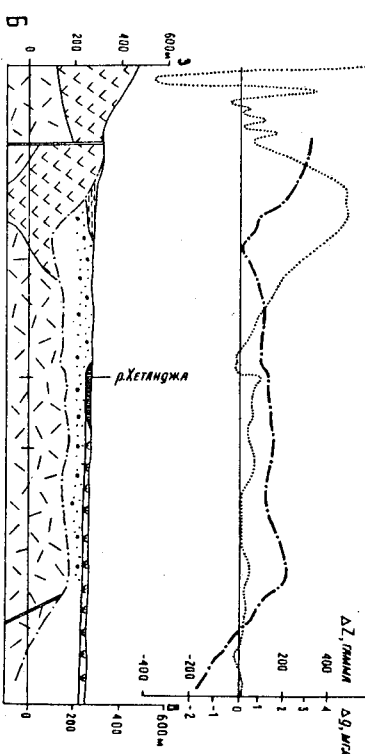
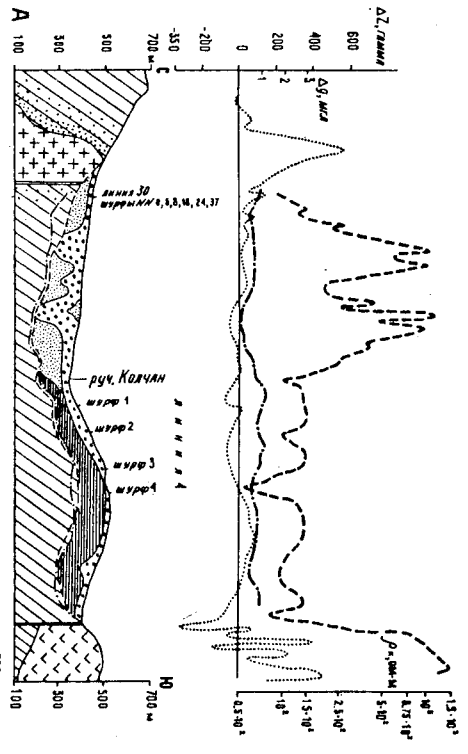


Рис. I. Геологические разрезы и данные гравиметрического электропроводности: А – в междуречье бургатчана – ливаччана; Б – в бассейне нижнего течения Хетанджи (с использованием материалов И.А. Бобрика [8]). Коренные породы: 1 – алевролиты, песчаники нижнего мела и верхнего триаса; 2 – верхнекоренные туфы и лавы кислого состава; 3 – верхнекоренные андезиты; 4 – верхнекоренные кварцевые диориты; 5 – ореол конгломератового метаморфизма; 6 – пиззоклиты; 7 – цинкеновые (?) глины с сопротивлением 150–400 омм; 8 – нижнечетвертичные галечники (?) с сопротивлением 1500–2000 омм; 9 – нижнечетвертичные галечники с валунами и льдом, сопротивлением 3000–10000 омм; 10 – нижнечетвертичные торфники; 11 – верхнечетвертичные торфники; 12 – верхнечетвертичные галечники.

Гравиметрическая масса состоит из серого полимиктового песка,

гравия, жёлтово-серой, зеленоватой глины и небольшого количества пирита. Состав гальки: алевролиты, песчаники, гранитоиды, гранит-порфир, эфутины среднего и кислого составов. Весьма характерна высокая степень изветленности гальки – крошащаяся в руках. Изредка встречаются остатки обуглившейся древесины.

Спирально-линейные спектры проф. отобранных из шурфа, характеризуют количественную расщительность четвертичного времени [8], но они не типичны для нижнечетвертичных отложений оледенения, поэтому здесь не приводятся. Однако, учитывая, что отложения покрыты на абсолютной высоте 524 м и залегают на 180–200 м выше уровня современных водотоков, их псевдообразно относить, по нашему мнению, к эпохе раннечетвертичного оледенения. На левобережье руч. Кавчана мощность нижнечетвертичных отложений, определенная методом вертикального электропроводирования и профильной гравиметрической съемкой, достигает 200 м, постепенно уменьшаясь в северном направлении. По электропроводности здесь выделяются три горизонта: нижний, залегающий на коренных породах мезозоя, характеризуется сопротивлением 1000–2000 омм; средний – 3000–10000 омм; верхний – 1000–2000 омм (см. рис. I, А).

Средний горизонт был вскрыт 6 шурфами с максимальной глубиной 20 м на абсолютной высоте 440 м. Рыхлые отложения здесь представлены галечниками с валунами гранитоидов и линзами пещера мощностью до 3 м. По составу и электропроводности средний горизонт аналогичен нижнечетвертичным отложениям правобережья руч. Кавчана. О составе нижнечетвертичного горизонта судить трудно, но, судя по их электропроводности, можно предполагать, что это галечники без валунов. Не исключено, что в основании этой толщи залегают нижнечетвертичные мелледниковые отложения, аналогичные установленным на правобережье Хетанджи.

Верхнечетвертичные отложения территории отнесены к каргинским межстационарным образованиям и сартанская стадии оледенения.

13 – современные галечники. Граница коренных пород: 14 – по данным гравиметрической съемки; 15 – по данным вертикального электропроводирования; 16 – граница ΔZ ; 17 – криевые Δg ; 18 – криевые ρ в симметричного электропроводирования

**Верхнечетвертичные аллювиальные отложения
запады каргинского межледникового (9³)**

П надпойменную террасу высотой 8-13 м. II надпойменная терраса высотой 25 м и речена в долине Хетанжи и в виде небольших участков, не изображающихся в масштабе карты, в долинах Верхней Хетанжи, Баганды. II надпойменная терраса широко развита в основных водоточных районах Челомдже, Хетанжи, Бугагылане. Бугагылане и других реках.

На правобережье Хетанжи разрез рыхлых отложений следующий (в м):

1. Погребенно-растительный слой	0,5
2. Галечник	1,5
3. Мелкогравийно-серый полимиктовый песок с гравием	0,2
4. Косослоистый галечник с валунами	1,2
5. Песок с гравием	0,4
6. Галечник с валунами	3,4
7. Мелкая галька с песком и гравием	4

Общая выщеренная мощность 25,5 м.

Состав наружных и галек: андезиты, липариты и их туфы, редко диориты.

В составе спектра проб, отобранный с глубины 22 м, преобладает древесно-кустарниковая пыльца (68,6%) за счет представителей семейства бересовок: *Betula Middendorffii*, *Betula sect. Kalmiae* (31,5%), *Alnaster* (24,4%). Семейство Ринолесе представлено *Rinus n/p Narpoxylon* (36,9%) и *Larix* (1,6%). В группе спор (22,8%) первое место принадлежит *Sphragidium* (76,5%), меньше *Lycopodiaceae* (17,9%) и *Polygonaceae* (5,3%). Группа непревесской пыльцы малоочисчена (8,6%) и седна. В ее составе: *Ericales*, *Cyperaceae*, *Ranunculaceae*. По заключению А.Н. Курялевой, подобный спектр можно характеризовать каргинские слои (9³). Каргинские образования вскоре расчистятся на II надпойменной террасе в долинах Хетанжи и Бугагылане. В долине Бугагылане они представлены галечником с небольшими валунами гранитоидов (мощность 8 м). В спектре проб из нижней части разреза преобладает (70%) древесно-кустарниковая пыльца *Rinus n/p Narpoxylon* (11%), *Larix* (0,9%), *Betula sect. Kalmiae* (20,6%), *Betula Middendorffii* (2,1%), *Betula* древовидная (3,7%), *Alnus* (8,5%), *Alnaster* (53,2%). Группа спор (16,8%) состоит из *Sphragidium* и *Polygonaceae*, реже встречаются *Vryles*, *Lycopodiaceae*, *Selaginella*. Надревесная пыльца (13,2%) представлена *Ericales*, *Gramineae*, *Cyperaceae*, *Ranunculaceae*. В спектре проб из верхней

части разреза превалирует группа непревесской пыльцы (46,3%), очень богата по видовому составу: *Polygonopteraceae* (2,7%), *Ericales* (6,7%), *Gramineae* (34,6%), *Cyperaceae* (6%), *Ranunculaceae* (18%), *Thalictrum* (6%), *Polygonaceae* (1,3%), *Polemoniaceae* (2%), *Carophyllaceae* (2,7%), *Chenopodiaceae* (4,7%), *Artemisia* (4,7%), *Varia* (10,6%). Группа древесно-кустарниковой пыльцы (28,7%) по видовому составу бедна: *Betula sect. Kalmiae* (51,6%), *Betula Middendorffii* (2,2%), *Alnus* (5,4%), *Alnaster* (37,6%), *Salix* (2,2%), единичные зерна семейства *Rinaceae*. Группа спор (25%) представлена *Sphragidium* (72,9%), *Vryles* (12,3%) и *Selaginella* (2,5%). По заключению А.Н. Курялевой, подобная растительность могла проистекать в условиях межледникового потепления верхнечетвертичного оледенения, скорее всего в конце его. Вероятно, также к каргинским слоям относятся низкие горизонты аллювия II надпойменной террасы Челомдже, содержащие близ устья Хетанжи спорово-пылевой спектр, аналогичный приведенным выше [14].

Верхнечетвертичные образования запады сартанского оледенения (9⁴)

Эти образования представлены моренами, водно-ледниками и аллювиальными отложениями, торфниками.

Морены занимают небольшие площадки и имеют ограниченное распространение: они встречены в верховых Хигатана, на междуручье Челомдже-Бугагылан. Сложен морены глыбами и валунами гранитоидов, щебнями, залузанными пород с примесью шебня, супеси и суглинка. Мощность их не превышает 30-40 м. В пользу принадлежности морен к последней стадии оледенения свидетельствуют хорошо сохранившиеся ледниковые микрорельефы, четко выраженные ширка и небольшое удаление морен от области питания ледника.

К водно-ледниковым образованиям сартанской стадии оледенения отнесены рыхлые отложения I надпойменной террасы в верховых Хигатана, которые развиты вблизи морен. Разрез рыхлых отложений здесь следующий (в м):

1. Погребенно-растительный слой	0,3
2. Шлако-окатанные обломки гранитоидов, гравелилов, липаритов, смызанные полимиктовым песком. Размер обломков 2-3 - 30 см	1,7
3. Галька, гравий, валуны, смызанные песком. Окатанность материала средняя	1
4. Хорошо и плохо окатанная галька, валуны с гравием и песком	2,7

Общая мощность разреза 5,7 м.

Аллювиальные отложения сартанской стадии отложения слагают

I надпойменную террасу (высотой 4-6 м) Челомки, Бургалькана, Хетанчи, Хетанды, Хетанды (среднее течение и верховья), Бутыкана, Средней, Еланчик.

I надпойменная терраса, сложенная аллювием сартанской стадии оледенения, вскрыта расчистками на правобережье Хетанды и в долине руч. Близкого (левого притока р. Челомки).

На правобережье Хетанды разрез террасы следующий (в м):

1. Почвенно-растительный слой	0,4
2. Галечник с редкими небольшими вадами андезитов, гранодиоритов	1,7
3. Глинистый полимиктовый песок	0,3
4. Гравия с мелкой галькой андезитов	0,4
5. Галька с гравием и полимиктовым песком	0,6
6. Галечник с небольшими вадами и линзами льда	1,1

Общая мощность разреза 4,5 м.

В спектре спорово-пыльцевой пробы, отобранный с глубины 3 м, на первом месте стоит группа спор (75,8%), представленная *Sphragidium* (4,2%), *Polygonaceae* (38,4%), *Lycopodiaceae* (II,8%), *Bryales* (I,3%) и *Ophioglossaceae* (I,3%), группа древесно-кустарниковой пыльцы (17,5%) представлена семействами *Betulaceae* (73,5%) и

Rhamnaceae (26,5%), состоящими в основном из кедрового стволовика,

Rhus sect. Euphorbia. Группа пыльцы недревесной растительности (6,7%) представлена *Gramineae*, *Eriales*, *Cyperaceae*, *Omagraceae*.

Полученный спектр несомненно отражает хололедную растительность, а пыльца липодных сосен и ели, по-видимому, переотложена при разрыве наношельвенных образований.

В бассейнах Кутаны и Вахного I надпойменная терраса высотой 4-6 м сложена темно-бурыми слоистыми торфниками с примесью суглинкового материала. Торфники наблюдались также на левобережье Хетанды (нижнее течение), где они слагают верхнюю часть разреза II надпойменной террасы.

Современные образования (Чуя)

Эти отложения представлены аллювием, галечником и проливием. Интенсивное заболочение участки поймы Челомки с многочисленными мелкими озерами отнесены к озирно-болотным образование.

Эпювильные отложения широко развиты на плоских водоразделах, представлены щебнем, суглинком, илами глибами. Мощность их 1-3 м, поэтому на карте они не показаны. Лёссомисто-проливильные от-

ложения иногда имеют мощность 5-10 м, но занимают ограниченные площади, поэтому, как и первые, на карте не показаны.

К современному времени отнесены отложения пойм и пойменных террас высотой до 2 м. Наиболее широко современный аллювий развит в пойме Челомки, ширина которой в отдельных местах достигает 8-10 м, представлен он галечниками, песками, илами. Мощность его оценить трудно, но, по-видимому, она может достигать 10-20 м.

И Н Т Р У З И В Н Й Е О Б Р А З О В А Н И Я

Интузивные образования на территории представлены габро, диоритами, кварцевыми дiorитами, гранодиоритами, гранитами, кварцевыми сиенитами, которые слагают массивы и штоки различной формы и величины. Нередко они сопровождаются дайками соответствующего состава. Петрографический состав, взаимоотношения интузивных тел с имеющимися породами и между собой, данные абсолютного возраста позволяют отнести интузивные образования района к различнымэтапам позднемелового матматизма. К позднемеловым образованиям отнесены также субвулканические тела и лавки, в том числе корни потоков, андезитов, липаритов. Возраст субвулканических тел и лавок базальтов условно принят как палеогеновый.

ПОЗДНЕМЕЛОВЫЕ ИНТРУЗИВЫ

Наиболее крупными интузивными телами в районе являются Майданчикский и Верхне-Челомкинский массивы. Верхне-Челомкинский массив расположен в бассейнах Бутыкана, Средней и Верхней Хетанды. В плане видимая часть массива приближается к форме эллипса, большая ось которого ориентирована в субмеридиональном направлении. Видимая длина массива достигает 70 км, ширина в среднем около 20 км. Углы падения восточного и юго-восточного контактов массива преимущественно кругие: от 60-70° (падение от массива) до вертикальных. В средней части массива, где наблюдается проезд краями, наряду с крутыми углами падения контактов отмечаются и пологие ($10-20^{\circ}$, падение в сторону имеющих пород).

Верхне-Челомкинский массив сформирован в три этапа позднемелового матматизма. К раннему этапу относится становление небольших интрузионных тел габро, диоритов; к среднему — внедрение гранодиоритов, гранодиорит-порфиров, кварцевых диоритов; в заключительный этап сформированы лейкократовые граниты.

Габро (ΣK_2) слагают конусообразное тело в верховых Средней.

В плане выходы габро округлой формы, занимают площадь около 35 км².

На северо-востоке, близ контакта, габбро последовательно сменяется диоритами (среди габбро появляются породы с алевритовой текстурой, состоящие из участков габбро и диорита). Контакт габбро и диорита, судя по очертанию границы в плане, имеет наклон к центру интузии под углом 30–40°. В центральной части югра наблюдаются полосчатые габбро. Полосчатость обусловлена концентрической волной полос шириной 1–7 см темношатовых минералов и наклонена к центру интузии под углом 40°.

Диориты ($\text{J}^0 \text{K}_2$) также наблюдаются в виде отдельных небольших (0,5–3 км²) выходов на левобережье Эльганды, левобережье Бутынана, а также встречаются в виде крупных (до 1–2 км в поперечнике) ксенонитов среди гранодиоритов массива.

Габро – массивные породы темно-серого цвета с зеленоватым оттенком, нередко с видимой вкрапленностью пирита, титаномагнетита. По петрографическому составу, при микроскопических исследованиях, различаются роговообманково-пироксеновые, пироксен-роговообманковые и роговообманковые габбро. По видимому, это объясняется неравномерным распределением цветных минералов в габбро.

Роговообманково-пироксеновые габбро обладают ойтовой участкой с идиоритовой, структурой размер зерен 0,2–2,5 км. Состав: лабрадор – 52; моноклинный пироксен ($\text{c:Ng}=42^\circ$; $2V=58^\circ$) – 21; бурая роговая обманка ($\text{c:Ng}=15^\circ$; $2V=80^\circ$) – 11; пирит – около 12; титаномагнетит – около 4.

Пироксен-роговообманковое габбро характеризуется габбровой структурой, размер зерен 0,2–3 мм. Состав: лабрадор – 60; зелено-вато-бурая роговая обманка ($\text{c:Ng}=16^\circ$; $2V=82^\circ$) – 25; моноклинный пироксен ($\text{c:Ng}=45^\circ$; $2V=60^\circ$) – 7; титаномагнетит, пирит – 8.

Роговообманковое габбро, имеющее габбровую структуру, размер зерен 0,3–5 мм. Состав: андезин-лабрадор – 50; зеленовато-бурая роговая обманка ($\text{c:Ng}=14^\circ$; $2V=72^\circ$) – 43; единичные зерна моноклинного пироксена; титаномагнетит – 5; апатит – 2.

Вторичные изменения пород выражались в серпентизации плагио-класса и увралитизации амфибола и пироксена. По химическому составу описанные породы схожи сливочным габбро, по Р.Дали (табл. I, проба Г).

Лиориты – массивные средне-мелкозернистые породы зеленовато-серого цвета. Структура – субоблитовая, местами поликристаллическая; размер зерен 0,5–4 мм. Состав: зональный амфибол 43–45 – 54; зеленовато-бурая роговая обманка ($\text{c:Ng}=13^\circ$; $2V=66^\circ$) – 32; биотит – 5; кварц – 4; титаномагнетит – 4,5; пирокон – апатит – 0,5.

Вторичные изменения выражались в серпентизации плагиоклаза, хлоритизации биотита и широком развитии тоналита и актинолита по

ротовой обманке. По химическому составу (табл. I, проба 4) описаные породы соответствуют диоритам, по Р.Дали, отличаясь несколько повышенным содержанием кремнекислоты.

Гранодиориты ($\text{J}^0 \text{K}_2$) слагают юго-восточную часть Верхне-Челомянского массива и распространены в бассейне Средней, на правобережье Бутынана, в верховых Еланды и на левобережье Эльганды. На правобереге Средней наблюдались [14] фациальные переходы гранодиоритов в кварцевые диориты, а на правобережье Еланды были контакты – в гранодиорит-порфиды.

Гранодиориты – массивные серые среднезернистые породы. Структура – гипидроморфозернистая; размер зерен 0,2–2,5 мм. Состав: андезин № 31–55; кварц – 24; кальцитовый полевой шпат – 8; биотит и роговая обманка – 10; апатит, циркон, магнетит – 3.

Вторичные изменения выражались в албитизации и серпентизации плагиоклаза, хлоритизации цветных минералов и пелитизации калинат-ротового полевого шата. По химическому составу описаные породы (табл. I, пробы 5, 6) соответствуют гранодиоритам, по Р.Дали.

Кварцевые диориты – массивные зеленовато-серые породы. Структура – гипидроморфозернистая, размер зерен 0,2–2,5 мм. Состав: андезин № 37–64; кварц – 15; зеленовато-бурая роговая обманка ($\text{c:Ng}=11^\circ$; $2V=67^\circ$) – 9,5; биотит – 8,5; магнетит, пирит – 2,5; циркон, апатит – 0,5. Вторичные изменения выражались в серпентизации и карбонатизации плагиоклаза, хлоритизации цветных минералов.

Гранодиориты проявляют габбро, диориты и содержат ксенониты последних [14].

Лейкократовые граниты ($\text{J}^0 \text{K}_2$) слагают центральную и северную части Верхне-Челомянского массива (между реками Челомда-Бутынан, бассейны Эльганды, Верхней Летанды). Небольшой выход гранитов наблюдается также в междуречье Восточный-Еланды.

Среди лейкократовых гранитов различаются средне- и мелкозернистые. Согласно с мелкозернистыми нередко встречаются гранит-порфиды. Преимущественно мелкозернистые граниты распространены в бассейне среднего течения Верхней Летанды, на правобережье Челомды, и слагают, по-видимому, амфилитную часть интузива.

Среднезернистые лейкократовые граниты – массивные розовато-серые породы, размер зерен 0,2–5 мм. Розовый оттенок породе придает цвет калинагротового полевого шата. Структура – гранитовая, местами микролитомагматическая. Состав: решетчатый кальцитовый полевой шпат ($2V=70^\circ$) – 60; кварц – 30,5; плагиоклаз № 23–30 – 7,5; биотит – 1,5; единичные зерна буровато-зеленой ротовой обманки; циркон, апатит, сфеин, орцит, магнетит – 0,5.

* Здесь и далее составы пород приводятся в объемных процентах.

Таблица I

Химический состав изверженных горных пород, %

№ пп	Породы	SiO ₂	TiO ₂	Al ₂ O ₃	Fe ₂ O ₃	FeO	MnO	MgO	CaO	Na ₂ O	K ₂ O	-H ₂ O	+H ₂ O	P ₂ O ₅	CO ₂	Сорг	Сумма	ннн
I	2	3	4	5	6	7	8	9	10	II	12	13	14	15	16	17	18	19
Интузивные породы																		
1.	Роговообманково-пироксеновое габбро	42,59	2,33	16,74	7,18	8,96	0,21	5,71	10,47	2,09	0,72	0,23	1,33	0,09	0,94	-	99,59	1,63
2.	Пироксен-роговообманковое габбро	51,55	0,30	19,70	1,74	6,30	0,14	5,16	10,23	2,83	0,58	-	1,08	0,19	-	-	99,80	0,36
3.	Биотит-рогообманковый диорит	56,69	1,08	19,00	2,57	3,87	0,11	3,43	5,98	3,52	2,40	0,20	1,32	0,22	0,03	-	100,42	1,03
4.	То же	58,42	0,86	17,40	2,10	4,66	0,10	3,67	6,03	3,88	1,38	0,35	0,85	0,20	-	-	99,90	0,72
5.	Биотит рогообманковый гранодиорит	65,81	0,50	15,78	0,99	3,55	0,07	1,68	4,02	3,93	2,41	0,40	0,54	0,11	-	-	99,79	0,72
6.	То же	67,43	0,49	15,38	1,28	2,51	0,06	1,62	4,02	4,10	2,41	0,25	0,55	0,13	-	-	100,23	0,51
7.	- " -	66,93	0,30	15,96	0,48	4,20	0,08	0,97	2,34	3,77	3,61	0,05	1,00	0,10	-	-	99,79	0,72
8.	- " -	67,70	0,50	13,20	3,12	3,65	0,08	1,16	1,97	3,80	3,85	0,22	0,82	0,12	-	-	100,19	0,72
9.	Лейкократовый гранит	73,52	0,20	13,65	0,50	1,85	0,05	0,32	0,45	4,45	4,43	-	0,40	0,01	-	-	99,83	0,25
10.	Роговообманково-пироксеновый настровый сиенит	71,62	0,28	14,29	0,23	2,47	0,05	0,42	1,34	4,20	4,51	0,25	0,41	0,07	-	-	100,14	0,46
II.	Роговообманково-пироксеновый настровый сиенит	59,00	1,20	15,03	1,74	6,30	0,19	1,68	4,67	5,14	2,03	0,10	2,00	0,38	0,62	-	100,08	2,22

12.	Роговообманково-биотитовый кварцевый сиенит	64,82	0,80	15,08	2,41	3,00	0,12	1,28	2,32	5,11	2,67	0,15	1,30	0,21	1,06	-	100,33	2,00
Субвулканические породы																		
13.	Двулироксеновый андезит	55,63	1,30	16,47	1,75	6,49	0,16	2,87	5,98	3,32	1,79	0,16	2,87	0,42	0,05	0,31	99,57	2,59
14.	Липарит	76,70	0,20	II,70	3,15	0,84	0,02	0,13	0,18	6,77	0,18	0,09	0,40	0,02	-	-	100,38	0,38
15.	То же	73,92	0,32	13,36	0,23	1,90	0,02	0,11	0,37	3,55	4,22	0,11	1,32	0,04	0,03	-	99,50	1,12
16.	- " -	72,98	0,32	14,56	1,43	1,58	0,03	0,08	0,40	6,16	1,53	0,21	1,09	0,02	0,03	-	100,42	1,00
17.	Пироксеновый базальт	49,22	2,10	17,30	3,00	8,40	0,15	4,59	7,91	3,54	1,22	0,42	1,00	1,00	-	-	99,85	1,05
18.	То же	51,60	1,70	16,78	5,68	4,29	0,15	3,93	8,33	3,79	2,06	0,58	0,82	0,68	-	-	100,39	0,97
Вулканические породы																		
19.	Игнimbрит дацитового состава	64,72	0,50	16,21	0,38	4,20	0,10	0,97	3,59	3,79	3,39	-	1,60	0,13	0,68	-	100,26	1,62
20.	Кварцевый трахит	67,98	0,76	15,30	0,99	2,53	0,14	0,79	0,66	5,22	3,82	0,26	1,12	0,12	0,02	-	99,71	1,20
21.	То же	68,86	0,54	15,06	0,65	2,58	0,11	0,53	1,03	3,99	4,16	0,13	1,57	0,06	0,03	0,21	99,51	1,35
22.	- " -	65,28	0,61	16,47	1,32	2,87	0,16	0,76	1,72	5,99	2,81	0,56	1,17	0,19	0,03	-	99,94	1,51
23.	Двулироксеновый андезит	59,48	0,90	14,08	5,07	4,20	0,12	2,45	6,09	3,37	2,25	0,08	1,90	0,25	-	-	100,24	1,47
24.	Трахиандезит	55,32	1,36	16,95	2,89	4,41	0,16	2,80	5,73	4,12	3,08	0,75	1,78	0,32	0,12	-	99,79	2,06
25.	Игнimbрит дацитового состава	66,94	0,50	14,81	3,32	2,52	0,08	0,84	2,52	4,26	2,62	0,12	1,12	0,21	0,44	-	100,30	0,97
26.	Игнimbрит липарит-дацитового состава	68,24	0,54	14,63	0,76	3,19	0,10	0,79	1,76	3,47	2,79	0,44	2,64	0,08	0,02	-	99,45	2,82
27.	Игнimbрит липаритового состава	71,34	0,26	14,26	0,02	2,58	0,05	0,47	1,61	3,77	3,71	0,40	1,30	0,06	0,03	-	99,86	1,77

Продолжен. табл. I

Числовые характеристики по А.Н. Заварецкому

	I	2	3	4	5	6	7	8	9	10	II	I2	I3	I4
a	6,0	7,5	II,6	I0,I	I2,I	I2,2	I3,4	I3,6	I5,6	I5,4	I4,4	I5,2	I0,4	I4,2
c	9,0	I0,I	7,5	6,5	4,6	4,I	2,8	I,9	0,5	I,5	2,9	2,5	6,5	0,2
b	30,9	20,2	I2,4	I4,6	7,4	7,5	8,3	8,3	3,3	3,2	I3,6	7,6	I5,3	3,6
s	54,I	62,2	68,5	68,8	75,9	76,2	75,5	76,2	80,6	79,9	69,I	74,7	67,8	82,0
a'	-	-	-	-	-	-	27,0	-	23,5	4,2	-	-	-	-
c'	I5,0	I4,5	I,2	7,2	4,6	I8,0	-	5,6	-	-	20,5	4,I	8,I	-
m'	34,0	45,5	48,8	46,4	39,0	36,0	I9,6	22,6	I3,7	20,8	I2,5	28,8	33,6	5,6
r'	5I,0	40,0	50,0	46,4	56,4	46,0	53,4	7I,8	62,8	75,0	58,0	67,I	58,3	94,4
n	83,0	88,4	68,5	80,6	7I,6	72,0	6I,4	60,I	60,2	58,6	79,7	74,I	73,9	98,0
t	3,9	0,4	I,4	I,0	0,5	0,5	0,4	0,5	0,3	0,3	I,5	0,9	I,7	0,2
ψ	2I,3	7,8	I8,4	I3,2	II,I	I4,4	4,9	30,7	II,7	4,2	II,2	27,2	I0,4	73,5
Q	I2,8	0,7	6,3	I0,9	23,0	23,9	2I,4	23,3	29,5	27,5	6,5	I6,5	8,3	35,4
a/c	0,6	0,7	I,5	I,5	2,6	3,0	4,8	7,5	3I,2	I0,2	5,0	6,I	I,6	7I

	I5	I6	I7	I8	I9	20	2I	22	23	24	25	26	27
a	I3,4	I5,0	I0,0	II,5	I3,5	I6,8	I4,6	I7,4	I0,7	I4,I	I3,4	II,6	I3,4
c	0,4	0,5	7,2	5,8	4,4	0,8	I,3	2,I	4,2	4,7	3,I	2,I	2,0
b	5,0	5,4	22,4	20,7	6,3	6,4	6,7	5,8	I6,0	I4,4	6,9	8,6	4,6
s	8I,2	79,I	60,4	62,0	75,8	76,0	77,4	74,7	69,I	68,8	76,6	77,7	80,0
a'	57,9	48,5	-	-	-	28,I	4I,8	I0,3	-	-	3,0	4I,8	30,9
c'	-	-	I3,I	22,4	I,6	-	-	-	2I,0	I7,2	-	-	-
m'	4,2	2,9	36,5	32,8	26,8	20,6	I3,0	2I,9	26,I	34,0	20,5	I5,5	I6,4

r'	37,9	48,6	50,4	44,8	7I,6	5I,3	45,2	67,8	52,9	48,8	76,5	42,7	52,7
n	55,9	85,7	8I,I	74,0	62,9	67,7	58,9	76,5	69,9	66,9	7I,6	65,I	60,7
t	0,3	0,3	3,I	2,4	0,6	0,9	0,6	0,7	I,I	I,8	0,5	0,6	0,3
	3,4	2I,8	I2,I	24,2	6,6	I2,6	8,0	I9,0	27,I	I7,6	4I,2	7,2	0,3
Q	35,2	27,7	6,4	4,8	20,I	I7,6	24,3	I2,5	I2,6	0,7	23,3	30,I	3I,2
a/c	23,2	30	I,4	2	3,I	2,I	II,6	8,2	2,5	3	4,3	5,5	6,7

Места отбора проб: I - верховье Средней; 2 - левобережье Бургагылкана; 3 - левобережье Хетанджи; 4 - правобережье руч. Восточного; 5,6 - бассейн Средней; 7,8 - правобережье Бургагылкана; 9 - левобережье Челомджи; 10 - правобережье Челомджи; II, I2 - бассейн руч. Близкого; I3 - левобережье Бургагылкана; I4, I5, I6 - бассейн Хетанджи; I7, I8 - междуречье Бургагылкана-Хетанджи; I9 - верховье Хетанджи; 20, 2I, 22 - бассейн нижнего течения Хетанджи; 23 - левобережье руч. Нелиня; 24 - левобережье Хетанджи; 25, 26, 27 - бассейн верхнего течения Хетанджи.

Пробы 3, I3, I5, I6, 20, 2I, 22, 24, 26, 27 из коллекции В.П. Карчавца (197I г.), анализировались Л.А. Финогеновой; остальные - из коллекции автора (1970-197I гг.), анализировались З.И. Карпичевой, М.В. Кондрашиной, Н.Н. Базиевым.

Мелкозернистые лейкократовые граниты – розовато-серые породы с размером зерен 0,2–1 мм. Структура – гранитовая, местами микропетматовая. Состав: калинитровый полевой шпат ($2V-70^{\circ}$) – 55; кварц – 38; пльтоклаз № 9–15 – 5,5; биотит – 1; апатит, магнетит – 0,5. Вторичные изменения в гранитах выражались в серпинизации и албитизации пльтоклаза, пелигризации калинитового полевого шпата и хлоритизация биотита. По химическому составу (табл. I, пробы 9,10) описанные породы близки аллюлитам, по Р.Дали, отличаясь несколько повышенным содержанием целочес.

Лейкократовые граниты рутиг табброб и диориты и содержат хесно-литы последних [14], являются, таким образом, самыми молодыми ин-трузивными породами в Верхне-Челоминском массиве.

Породами, аналогичными табброб и диоритам Верхне-Челоминского массива, сложены ряд штоков в бассейне верхнего течения Хетанджи, истоков руч. Близкого, на левобережье Киганди и Восточного. Штоки табброб и диоритов (площадь 0,5–2 км²) в плане округлой формы име-ют кругие углы падения контактов. По химическому составу (табл. I, пробы 2,3) породы соответствуют табброб и диоритам, по Р.Дали.

Гранодиоритами и кварцевыми диоритами, близкими по составу этим же породам Верхне-Челоминского массива, сложены Маймандинский массив и штоки (площадью 2–15 км²), расположенные на правобере-же Кутаны, в верховых руч. Парус, на правобережье и левобережье Бургатыкана.

Маймандинский массив расположен в междууречье Бургатыкана-Хигатана. Выходы интрузивных пород, слагающих массив, имеют в пла-не форму колыча. Они занимают площадь около 130 км². На востоке и юго-востоке углы падения контактов с имеющимися породами пологие – 10–20° (падение от массива), на западе более крутые (30–50°), имен-да близки вертикальным. В центральной части массива наблюдается про-вес кровли.

Массив сложен гранодиоритами. Совместно с ними как фациальная разновидность иногда встречаются граниты. К эндоконтактовым частям массива нередко приурочены кварцевые диориты и гранодиоритопорфир. В районе излучины р. Бургатыкана пологий эндоконтакт массива сложен гранит-торфоридами.

Граниты – массивные породыировидные породы светло-серого цвета, размер зерен 0,5–4 мм, отдельные вкрапления полевых шпатов листи-гант размера 10 мм. Структура – гранитовая; состав: зональный пль-токлаз № 20–40 – 36; калинитровый полевой шпат (2–66°) – 22; кварц – 32; биотит – 8; залегенная роловая обманка (с:Ng=12°; Ng-Пр=0,026) – 1; циркон, рутил, апатит, магнетит – 1.

В отличие от гранитов Верхне-Челоминского массива в них из полевых шпатов преобладают пльтоклазы и содержатся большие темно-цветные минералы.

Гранодиориты – массивные среднезернистые, иного породовид-ные породы светло-серого цвета, размер зерен 0,3–4 мм. Структура – гранодиорит-пльникоморфозернистая; состав: андезин № 33–49; калинитровый полевый шпат ($2V-60^{\circ}$) – 17; кварц – 21; зеленая роловая обманка – 4; биотит – 8; апатит, циркон, сфеен, магнетит – 1.

По химическому составу (табл. I, пробы 7,8) породы близки к гранодиоритам, по Р.Дали. Несколько повышенное содержание целочки и пониженное – известки смыкает их с граносиенитами.

Кварцевые диориты (q_0K_2) – массивные зеленовато-серые породы, размер зерен 0,2–4 мм. Структура – гранодиорит-пльникоморфозернистая; состав: зональный андезин № 37–41 – 55; калинитровый полевой шпат ($2V-58^{\circ}$) – 6; кварц – 16; биотит – 13; зеленая роловая обманка (с:Ng=18°; Ng-Пр=0,025) – 8; апатит, циркон, сфеен, магнетит – 2.

Вторичные изменения описанных пород выражались в албитизации и серпинизации пльтоклаза, пелигризации калинитового полевого шпата и хлоритизации цветных минералов.

Лейкократовые граниты помимо того, что участвуют в строении Верхне-Челоминского массива, слагают два небольших штока. Первый из них (площадью около 2 км²) расположен в бассейне руч. Икара, име-ет в плане изометричную форму, и, по-видимому, пологие контакты с имеющимися породами (судя по широкому ореолу kontaktово-измененных пород). Второй (площадью около 20 км²) расположен на правобережье Чемуховки и несколько вытянут в северо-западном направлении. Углы падения контактов с залегающими породами крутые (падение от штока).

Отнесение интрузивных пород, слагающих Верхне-Челоминский, Маймандинский массивы и ряд штоков, к позднемеловым образованиям основано на следующих фактах. Табброб и диориты прорывают и метамор-физируют вулканогенные образования холмчансской и ульинской свит верх-него мела. Гранодиориты, кварцевые диориты прорывают и метаморфиз-ируют вулканогенные образования всех свит верхнего мела, табброб, дио-риты. Аналогичные породы на территории листа Р-55-ХХII (граниты и гранодиориты Маймандинского массива) имеют абсолютный возраст 87–104 млн. лет [20]; первая цифра наиболее вероятна. Лейкократовые граниты рутиг и метаморфизуют вулканогенные образования всех свит верхнего мела, гранодиориты и на сопредельной территории листа Р-55-ХХII имеют абсолютный возраст 67 млн. лет [20].

Кварцевые сиениты (q_0K_2) слагают штоки в бассейне руч. Близко-кварц – 32; биотит – 8; залегенная роловая обманка (с:Ng=12°; Ng-Пр=0,026) – 1; циркон, рутил, апатит, магнетит – 1.

занимает площадь около 18 км², в плане неправильной формы и несколько вытянут в близмеридиональном направлении. Восточный контакт штоков с выдавлившими гирляндами пологий (20–30°, падение от штока), западный круглой, близкий вертикальному. В западной части штока развиты среднезернистые кварцевые сиениты, в восточной преобладают кварцевые сиенит-порфирь.

Кварцевые сиениты – массивные зеленовато-серые породы, размер зерен 0,4–5 мм. Структура – гипидоморфно-зернистая. Состав: зональный плагиоклаз № 20–52 – 40; кальцитовый полевой шпат – 32; кварц – 12; желтовато-зеленая роговая обманка (с:Нг=16°; №-№=0,020) – единичные зерна; биотит – 15; апатит, циркон, офер, магнетит – 1. Кварцевые сиенит-порфирь – разновато-серые порфиритные породы с вкраплениниками (1–3 мм) плагиоклаза и амфибола; в основной массе (размер зерен 0,1–0,2 мм) – кварц, кальцитовый полевой шпат, хлорит, эпидот. Структура – порфировая, основная масса – микрогонитовая. Состав: плагиоклаз № 30–40; кальцитовый полевой шпат – 35; кварц – 10; желтовато-зеленая роговая обманка (с:Нг=16°; №-№=0,022) – 6; псевдоморфозы хлорита и эпидота по биотиту – 5; циркон, апатит, магнетит – 4.

Вторичные изменения, помимо отмеченных, выражались в серпентинизации плагиоклаза, пеликанизации кальцитового полевого шпата и хлоритизации амфиболя. По химическому составу кварцевые сиениты (табл. I, проба 12) близки к щелочноземельным роговообманковым сиенитам, по Р.Дэли, но отличаются повышенным содержанием кремнекислоты и преобладанием кальция над калием. Аналогичное строение и состав имеют штоки в бассейне верхнего течения Кутаны. Близкие по химической составу породы известны в Маймандинском массиве.

Кварцевые сиениты прорывают вулканогенные образования колчансской и ульинской свит верхнего мела. Аналогичные породы на территории листа Р-55-ХУШ имеют абсолютный возраст 78 млн. лет [20]. Возможна их облучиванием андигитами является кварцевый тяжит хольцанской свиты, развитые в бассейне среднего течения Хетанды. На этом основании возраст кварцевых сиенитов датирован поздним мелом.

(Сиениты (с:Нг₂) слагают небольшой шток, расположенный на правобережье ручья Балзакого. Шток в плане округлой формы, диаметр его около 50 м. Углы падения контактов с выдавлившими породами, по-видимому, круглые.

Сиениты – плотные мелкозернистые породы зеленовато-серого цвета, преобладающий размер зерен 0,5–1 мм. Структура – гипидоморфо-зернистая; состав: албит № 8–9 – 61,5; кальцитовый полевой шпат – 11,5; кварц – 6; моноклинный пироксен (с:Нг=38°; №-№=0,029) – 2,5;

хлорит – 15; апатит, магнетит – 2. Хлорит развивается по плагиоклазу и замещает цветные минералы. Результат химического анализа (табл. I, проба II) показывает весьма большое сходство породы с Целюноземельными сиенитами, то Р.Дэли. Отличие заключается в еще сиенит-порфирь.

Кварцевые сиениты – массивные зеленовато-серые породы, размер зерен 0,4–5 мм. Структура – гипидоморфно-зернистая. Состав: зональный плагиоклаз № 20–52 – 40; кальцитовый полевой шпат – 32; кварц – 12; желтовато-зеленая роговая обманка (с:Нг=16°; №-№=0,020) – единичные зерна; биотит – 15; апатит, циркон, офер, магнетит – 1.

Кварцевые сиениты – массивные зеленовато-серые породы, размер зерен 0,4–5 мм. Структура – гипидоморфно-зернистая. Состав: зональный плагиоклаз № 20–52 – 40; кальцитовый полевой шпат – 32; кварц – 12; желтовато-зеленая роговая обманка (с:Нг=16°; №-№=0,020) – единичные зерна; биотит – 15; апатит, циркон, офер, магнетит – 1.

Пространственно к Маймандинскому и Верхне-Челомдинскому массивам приурочены дайки габбро, гранодиорит-порфир (УПК₂) и гранит-порфир (УПК₂). Дайки наблюдаются в экзоконтактах интрузивных габбро или рассекают их.

Дайки габбро представлены двумя поколениями: ранним и поздним. Дайки раннего поколения размещаются в акзоконтактах массивов – на правобережье Бургатыкана, на правобережье Челомджа и в верховых Бутыкана. Простирание дайк северо-западное, почти широтное, длина 1–3 км, мощность от 10–12 до 100 м, падение чаще крутое, иногда пологое (30–40°). По внешнему облику и составу дайки аналогичны габбро Верхне-Челомдинского массива. Их возраст определяется тем, что они рассекают итимбриты однокой синты верхнего мела, но метаморфизуются гранодиоритами Маймандинского массива [14]. Метаморфизм заключается в новообразованиях мелкозернистого биотита, амфибулита и оферна. Старее всего дайки раннего поколения являются жильной формой ранее описанных габбро, участвующих в строении Верхне-Челомдинского массива и лежащих штоков.

Дайки позднего поколения обычно наблюдаются среди лейкократических гранитов (верховьев Элгинды, межгорье Челомджа-Бутыкана, правобережье Еланда), реже они рассекают гранодиориты (верховье руч. Транитного). Простирание дайк чаще северо-западное, длиниширотное, реже северо-восточное; длина 0,5–4 км, мощность изменяется от 1,5–2 до 3–5 м, падение круглое.

Габбро, слагающие дайки позднего поколения, – темно-серые породы с преобладанием размером зерен 0,5–1 мм, иногда наблюдаются феногностические плагиоклазы размером 2–3 мм. Структура – призматическая-зернистая; состав: лабрадор № 60–65 – около 65; буровато-зеленая роговая обманка (с:Нг=16°; №-№=0,018) – около 25; моноклинный пироксен (с:Нг=38°; №-№=0,029) – до 5; апатит, магнетит – около 5.

Дайки гарндорит-порфиротов наблюдаются в экзоконтактах частях гранодиоритов Маймандинского и Верхне-Челомдинского массивов,

по внешнему облику и составу близки гранодиорит-порфирям, залегавшим в эзоконтактах массивов. Простирание даек северо-восточное, северо-западное, олигомицеланитное; длина 1-2 км, редко они прослеживаются на расстояние до 4 км (верховья Средней). Мощность даек 5-30 м, углы падения крутие.

Гранодиорит-порфирь — серы породы с желтовато-белыми вкраплениями (до 10 мм) плагиоклаза. Структура — порфировая; основная масса — микророгнистая, микролейкитовая и занимает 50% объема породы. Вкрапленники представлены андезитом № 32 (21%), кварцем (18,5%) и биотитом (9,5%); циркон, апатит, магнетит — 1%.

Даики гранит-порфира распространены в верховых Эльтанки (среди лейкократовых гранитов), в районе излучины Бургатыкана (эзоконтакт Маймандинского массива); отдельные даики встречаются в междуречье Хиветчан-Бургатыкана и в верховьях Средней. Простирание даек чаще северо-западное; протяженность не более 1-2 км, мощность 1-4 м, углы падения изменяются от 30-50° до вертикальных. Гранит-порфирь — светло-серые породы. Структура — порфировая; основная масса — микротигритовая, микролейкитовая. Вкрапленники (размером до 3 мм) занимают около 30% объема породы, представлены албитизированным плагиоклазом, пелицитизированным калинитовым полевым шпатом и кварцем. В незначительном количестве встречаются зеленая роговая обманка и биотит. Аксессорные минералы: апатит, циркон, сфеин, редко гранат.

Даики гранодиорит-порфиров и гранит-порфиров, видимо, не только пространственно, но и генетически связаны с гранитоидами Маймандинского и Верхне-Чаломджинского массивов.

Кроме даек в Маймандинском и Верхне-Чаломджинском массивах встречаются албитовые и пемматитовые жилы (P). На левобережье руч. Непкалакана среди лейкократовых гранитов встречаются обломки пемматитовой жильи, состоящей из серого кварца и розового калинитового полевого шпата. Размер кристаллов 2-5 см. Судя по величине обломков, мощность жилы не менее 0,2 м. В верховых Средней встречаена пемматитовая жила среди габбро. С недостатками перерывами она прослеживается на расстояние около 1 км, мощность 0,1-0,3 м, azimuth падения 170°, угол 60°. Состав: альбит — 50; зеленовато-бронзовая обманка — 40; хлорит — 6; кварц — 4; единичные зерна сфеина и титаномагнетита. Для жильи характерны крупные (3-4 см) кристаллы роговой обманки.

Албитовые жилы мощностью от 1-2 см до 5 м имеют протяженность не менее 20 м. Это светло-серые, желтовато-белые пигментные мелкозернистые породы, состоящие из пемматизированного калинитового полевого шпата (50-60%), кварца (до 40%) и единичных зерен албита, магнетита, чешуйчатого биотита.

Позднемеловые субвуликанические тела и даики

Субвуликанические тела и даики андезитов (M_2K_2) наиболее широко развиты на правобережье Бургатыкана, в междуречье Бургатыкана-Хетанджи и в бассейнах верхних течений Важного, Кутани, Чемалховки. Реже они встречаются в бассейнах Хиветчана, Бургатыкана, Средней. Даики андезитов прослеживаются на расстояние от нескольких сотен метров до 3 км, простирание их различное: северо-западное, северо-восточное, олигопироксенальное. Мощность 5-30 м, углы падения контактов чаще крутие, иногда пологие (20-40°).

Андрезиты, слагающие даики, — плотные темно-зеленовато-серые породы с белыми вкрапленниками (2-5 мм) плагиоклаза, иногда афирмат с минералами (до 7 мм) карбоната. Структура — порфировая, основная масса — тигматитовая, пилотакситовая, интерсертальная. Плагиоклаз относится к андезиту № 40-46, часто разломлен и почти полностью замещен альбитом, серифилом, хоритом, карбонатом, эпидотом. Цветной минерал полностью разложен и замещен уранитом, карбонатом, хлоритом. Основная масса состоит из микролейкитов плагиоклаза, хлоритизированного вулканического стекла и разложенного цветного минерала. Аксессорные минералы — апатит, рутил, рудные — магнетит, ильменит.

Субвуликанические образования представлены несколькими морфологическими типами: силлами, некками, даикоподобными телами, лополитами. Силлы мощностью до 200-300 м залегают в нижнекамской терригенной толще в бассейне Бургатыкана. В плане они имеют практическую форму, которая в какой-то мере подчеркивает характер листообразования вмещающих пород. Даикоподобные тела мощностью 100-300 м прослеживаются по левобережью Бургатыкана на расстояние до 10 км. Простирание их северо-восточное, углы падения контактов близки к вертикальным. Ихгла в раздувах широка выхода субвуликанических андезитов на поверхность достигает 1 км. Некки андезитов развиты на междуречье Бургатыкана-Хетанджи, в плане эллипсоидной, неправильной формы, площадь 2-5 км². Даикоподобные тела и некки залегают среди терригенных пород триаса — нижнего мела.

Лополит, сложенный андезитами, расположены в бассейне верхнего течения Кутани, в плане имеет вид колыма диаметром около 15 км. Углы падения контактов в перигнейских частях лополита пологие (10-30°, падение к центру тела), ближе к центральной части более крутие — 40-50°. Вмещающие породы — вулканогенные образования хольчансской синклиниории.

Наиболее детально изучен некк андезитов в верховых руч. Близкого. В плане он неправильной формы, максимальный размер в попереч-

нике 2,2 км. Юго-западный эндоконтакт субвулкана сложен темно-зеленого-серыми порфиритами двутироксеновыми амфибазитами, падение плоскости контакта крутое, на юго-запад. Эти породы прослеживаются в северо-восточном направлении на расстояние около 1 км. Далее наблюдалась в этом же направлении: зеленовато-серые порфиритные мицелиевые андезиты - 30 м, зеленовато-серые брекчии лавы андезита полосчатой текстуры - 250 м. Полосчатость обусловлена сортировкой обломочного материала по величине. Ширина полос 5-10 см, ориентировка полосчатости - азимут падения 90°, угол 80°. Чертежование андезитов и их брекчийных лав - 900 м.

Двутироксеновые андезиты имеют порфировую структуру, основная масса интэрсертальная, местами поликристаллическая - поликлиновая. Порфировые выделения (размером 2-4 мм) представлены плагиоклазом № 50, моноклинным и ромбическим пироксенами, зеленовато-буровой роговой обманкой. Основная масса состоит из плагиоклаза, пироксена, вулканического стекла и единичных ксеноморфных зерен кварца. Плагиоклаз по краям часто албитизирован, в центральной части зерен серпентинизирован и рассортирован. Ромбический пироксен почти целиком замещен баститом, по роговой обманке и вулканическому стеклу развиивается хлорит. Состав породы: плагиоклаз - 63; кварц - 0,5; пироклаз - 6; амфибол, бастит 13,5; хлоритизированное вулканическое стекло - 13; апатит, сфеен, магнетит - 4.

Брекчевые лавы андезита обладают брекчевой текстурой (размер обломков до 3-4 см); структура - лигнокластическая, кристаллокластическая; основная масса - стекловатая, полостью хлоритизирована. Обломки кристаллов (0,1-0,2 мм) представлены албитизированным, карбонатизированным и хлоритизированным плагиоклазом; обломки пород - амфибазитом. Состав: плагиоклаз - 9,5; обломки андезита - 50; основная масса - 39; апатит - 1,5.

По химическому составу (табл. I, пробы 13) породы соответствуют андезитам, по Р.Дэли.

Аналогичными двутироксеновыми андезитами сломены субвулканические тела на левобережье Бургатылкана [8, 14]. Близкие по составу и структуре породы описаны К.Т. Здобинным [10] из верховьев Кутаини.

Субвулканические тела и лайки андезитов прорывают вулканогенные образования хольчансской свиты верхнего мела, но рвутся и метаморфизуются квадратными синекстами [14]. По составу они близки покровным андезитам Ульинской и нараудитской свит и, видимо, в большинстве случаев относятся к корневой их системе.

Субвулканические тела и лайки липаритов (μ K₂) наиболее широко развиты в бассейне верхнего течения Хетанды, реже они встречаются

ся в верховых Средней, Важной, на правобережье Челомжи, в бассейне Хиватана. Протяженность даек 1-4 км, простирание - северо-восточное, северо-западное, близкоточное; мощность 2-40 м, редко достигает 100 м, углы падения контактов изменяются от 30-50° до вертикальных. Субвулканические тела в плане имеют неправильную форму, извилистые очертания границ и занимают площадь до 8-9 км². Углы падения контактов изменяются от 40-50 до 80°.

Липариты - серые, зеленовато-серые породы. Структура - порфировая; основная масса фельзитовая, микроподстиловая, сферолитовая с многочисленными чешуйками серидита. Вкрапленники (размером 0,5-3 мм) представлены албитом № 3-4 и кварцем и занимают 8-5-40% объема породы. Иногда наблюдаются листоватые кристаллы цветного минерала (до 3%), полностью замещенного хлоритом, карбонатом и волнистым желеzem. Аксессорные минералы - пироксены, апатит, рудные - магнетит, шпинель, часто разложение и окружение водными окислами железа. В верховых Хетанды встречаена лайка витрофторита. Витрофторы - красновато-коричневые породы со стеклянным блеском. Текстура - перлитовая, структура - витроформовая. Порода сложена мылью вулканическим стеклом с вкрапленниками олигоклаза № 25 и кварца. По объему вкрапленники занимают около 10%. Кроме того, наблюдаются единичные чешуйки блотита и мелкие зерна магнетита и ильменита.

По химическому составу (табл. I, пробы 14, 15, 16) породы отличаются от типичных липаритов повышенным содержанием шелочей и пониженным - известия.

Субвулканические тела и лайки липаритов терриории рурут покрыты хольчанской, Ульинской и сольской свитами верхнего мела, а также терригенные породы перми, верхнего триаса, нижнего мела. На левобережье Хиватана липариты метаморфизуются гранодиоритами Маймандинского массива [14]. По-видимому, часть даек и субвулканических тел - это корни покровов олеской свиты, часть из них более молодые; некоторые могут быть одновозрастными с покровами хольчанской свиты.

Палеогеновые субвулканические тела и лайки

Субвулканические тела и лайки базальтов (μ R_F) распространены в междуручье Бургатылкана-Хетанды, где образуют штогообразную цепочку выходов, сориентированную выпуклой стороной к западу и прослеживающиеся на расстояние около 35 км. Лайки ориентированы в северо-восточном направлении, протяженность их до 3 км, мощность около 10 м. Падение контактов близкое вертикальному. Субвулканические тела образуют низкие неправильной формы с раздвоениями и перекрестами. В перекрестах широки на их 300-400 м, в раздвоениях достигает 2-4 км. По геологическим дан-

ним и линиям профильной магнитной съемки [8] субвулканическое тело базальтов, расположенные на левобережье руч. Озерного, представляет собой птикообразное тело мощностью 100–160 м, погружающееся в северо-западном направлении под углом 10–15°. Аналогичное строение, судя по очертаниям их граний, имеют и другие субвулканические тела.

Базальты – темно-серые, красновато-коричневые породы, иногда с миндалекаменной текстурой и шаровой отдельностью. Структура – порфировая; основная масса – интерсеральная. Вкрашения (размером до 2 мм) представлены лабрадором № 55–58 и моноклинным широксеном. Основная масса состоит из микролитов (0,05–0,3 мм) плагиоклаза, зеленомоноклинного широксена и бурого вулканического стекла. Рудные минералы – магнетит, ильменит.

Базальты – сравнительно свежие породы, вторичные процессы выразились в частичном замещении плагиоклаза, альбита, а пироксена – идиоптитом. По химическому составу (табл. I, пробы 17, 18) они близки базальтам, по Р. Лэли. Они прорывают покровы ольской свиты верхнего мела и по возрасту параллелизуются с покровами условно палеогеновых базальтов сопредельных территорий.

Контактово-метаморфические породы

Проявления контактового метаморфизма наблюдаются в виде ореолов вокруг массивов и штоков интрузивных пород. Ширина зоны контакто-измененных пород зависит от состава измененных пород, улов на клюна контактов и размеров интрузивных тел. У крупных массивов при крутых контактах ширина зоны контактowego метаморфизма в территориях породах не превышает 2 км (Верхне-Челомянский и Майманджинский массивы), при пологих достигает 3–4 км (шго-восточный экзоконтакт Майманджинского массива).

В вулканогенных образований в зависимости от крутизны контактов ширина зоны контактовых изменений колеблется от 0,5–1 до 2 км. В интрузивных породах контактный метаморфизм выражен на расстояниях не превышающих 100–200 м от контактов более молодых интрузивов. Субвуликанские тела и дайки не вызывают существенных изменений имеющихся пород: наблюдаются незначительная перекристаллизация, окварцевание и новообразование мелкогнейшечного серпентина, хлорита. Ширина зоны таких измененных пород колеблется от нескольких сантиметров до 10–20 м.

Наиболее интенсивно контактовый метаморфизм проявился в терригенных породах. На правобережье Бургамыкана были Майманджинского массива непосредственно у контакта наблюдалась андезит-кордиеритовая роговика (ширина зоны 100–200 м), сменявшиеся по мере удаления от контакта актинолит-биотитовыми (ширина зоны 700–800 м), затем

биотитовыми роговиками (ширина зоны 1,5–2 км). В бассейне Хиаватча на описаны [14] актинолитовые, биотитовые, биотит-кордиеритовые, кварц-биотит-мусковитовые роговики.

Проявления контактового метаморфизма в вулканогенных породах выражены слабее и заключаются в перекристаллизации основной массы, окварцевании и новообразованиях биотита, хлорита, серпентина, мусковита, реже кордиерита.

Контактовые изменения в интрузивных породах обычно выражаются в новообразованиях актинолита, граната, биотита, которые различаются по цветам минералам или выпольным трещинам. Наиболее сильный контактовый метаморфизм отмечен в дайке габро раннего поколения (экзоконтакт Майманджинского массива), где помимо биотита, актинолит в встречены новообразования сферена и андалузита.

Гидротермальные образования

На территории встречаются кварцевые жилы, кварцено-жильные зоны, минерализованные зоны дробления, зоны кварцевого прожилкования, участки пиритизированных и окварцированных пород. Наиболее широко гидротермальные образования развиты в южных зонах верхнего мела, реже они встречаются в терригенных и интрузивных породах. Наибольшая концентрация кварцевых жил наблюдается на левобережье Хетанды (среднее течение) и в ее истоках. Простирание жил здесь преимущественно северо-восточное и субширотное. В истоках Хетанды кварцевые жилы концентрируются в хольмансской свите. Участок концентрации жил ориентирован в северо-восточном направлении, площадь его 5 км². Здесь насчитывается около 30 кварцевых жил [8]. На левобережье Хетанджи кварцевые жилы сосредоточены в районе силимаридионального дигъяккана и рассекают породы хольчансской, ульинской реже ольской свит. В бассейнах Кутаны, Етгацихи, Бүрткана наблюдались лишь отдельные кварцевые жилы северо-западного реде северо-восточного направлений.

В вулканогенных образованиях протяженность кварцевых жил изме-няется от десятков до нескольких сотен метров, мощность – от 0,2 до 2–3 м, угол падения контактов кручен: от 60° до вертикальных. Наиболее распространены в жилах массивная и дугочная текстура кварца, реже встречаются конардовая, пластинчатая, полосчатая. Помимо кварца в небольших количествах жил содеряют: альбит, мусковит, серпентин, хлорит, эпидот, реже амфибол, кальцит, флюорит, гранат, апатит, турмалин, ортоклаз, цеолит. Из рудных минералов установлены: пирит, халькопирит, галенит, сфalerит, магнетит, титаномагнетит, ильменит, монбленит, арсенопирит, пираргирит и золото.

Жилная зона, состоящая из 5–6 жил, расположена среди кимберлитов хольчанской свиты на левобережье Бургальткана (район излучин) близ широтного дислокантива. Протяженность ее 600–650 м, видимая мощность: на флангах 5–10 м, в центральной части 60–70 м; простирание олигопроточное, падение круглое, видимо, на угл. Кварц – массивный, дугообразный, обтекающий с углом содержанием золота.

Минерализование зоны дробления в эфузивах верхнего мела тяготят к разрывным нарушениям широтного, северо-восточного и северо-западного направлений. Мощность зон достигает первых десятков метров, протяженность 1–4 км. Минералогический анализ протоложки штуевой пробы с левобережья Бургальткана показал следующий состав: кварц, лимонит, амфибол, андидит, циркон, пирит. Иногда зоны в неизвестных количествах содержат золото, молибден, цинк.

Зоны кварцевого прожилования мощностью до 10 м отмечены в бассейне Хетанджи [8], где они характеризуются повышенными содержаниями смысла и цинка.

Участки и поля гидротермально измененных пород тяготят к экзоконтактам интрузивных тел и разрывным нарушениям. Самое крупное поле прититированных и окварцеванных город закартировано на левобережье Хетанджи, где его площадь достигает 35 км². Поле вытянуто в меридиональном направлении и приурочено к близмеридиональному сбросу. В лавах и туфах хольчанской и ульянской свит выявлено наличие тонкораспыленного пирита, участки вторичного кварца, прислаиваются к кварцитам карбоната, окристые налеты гидроокислов железа. На отдельных участках породы превращены в кварциты кварц-гидроокислистой фации и промиллы [8].

Гидротермально измененные вулкагенетические породы характеризуются низкими содержаниями золота и серебра. В прититированных и окварцеванных андезитах с левобережья Хетанджи установлены высокие (до 1%) концентрации смысла и цинка.

В гранитоидах Маймандинского массива кварцевые жилы редки и маломощны (0,2–0,3 м). В породах Верхне-Челоминского массива кварцевые жилы встречаются чаще. В лейкогратовых гранитах кварцевые жилы мощностью от 0,1–0,3 до 1,5–2 м простягиваются в северо-восточном и северо-западном направлениях на расстояние до 300–400 м. Падение жил круглое (70–80°), текстура массивная. Кроме кварца, жилы содержат мусковит, гранат, циркон, ильменит, пирит, магнетит, пиротит, лимонит, амфибол, редко золото. Кварцевые жилы, секущие граниториты, морфологически схожи вышеописанным, но отличаются по составу ирудной минерализации. Кроме кварца, в них обнаружены хлорит, кальцит, андидит, циркон, ильменит, халькопирит, молибденит, шеелит. В

верхних Ешандаки с этими жилами связанырудопроявления серебра и золота.

Жилы, секущие габбро и диорит, имеют северо-восточное, длино-широкое простирание, мощность 0,1–0,4 м, протяженность от первых сотен метров до 2 км. Текстура жил массивная, симметрично-дузовая; состав: кварц, реже альбит, хлорит, андидит, амфибол, гранат, циркон, ильменит, рутил, пирит, магнетит, титаномагнетит, галенит, редко золото.

В терригенных отложениях первы, верхнего триаса, нижнего мела кварцевые жилы ориентированы в различных направлениях, тяготят к разрывным нарушениям, выполнены определенные трещины отрыва, сколы. Протяженность жил не превышает 300–400 м, мощность 0,2–0,5 м, падение круглое. Текстура жил массивная, дузыовая, обрековая, изредка они содержат повышенные концентрации смысла и низкие – золота.

Участки прититированных терригенных город невелики по площади, установлены на левобережье Верхней Хетанджи и на правобережье Бургальткана. Они приурочены к сбросам северо-восточного направления.

Особое место занимают грейзенизированные терригенные породы нижнего мела, развитые на правобережье Средней. Участок грейзенизированных город расположены в экзоконтакте граниторитов Верхне-Челоминского массива, он занимает площадь около 15 км². Конакт граниторитов с измененными породами здесь пологий (10–20°), приурожающийся в северо-западном направлении. Непосредственно у контакта застывают массивные светло-серые городы с чешуйками и пластинками мусковита и редкой выкристаллизованностью сульфидов. Иногда среди них встречаются сильно измененные горизонтально-слоистые песчаники. По мере удаления от контакта степень окварцевания, мусковитизация пород ослабевает, но увеличивается количество сульфидов, появляющихся гранат-биотитовые роговики. Грейзенизированные породы состоят из кварца (около 60%), мусковита (около 35%), пирита (до 5%) и единичных зерен циркона. В протоложках штуевых проб в неизвестных количествах обнаружены ильменит, молибденит, анатаз, рутил, турмалин, галенит, сфалерит. Спектральным анализом установлены узкие содержания серебра и галлия.

Т Е К Т О Н И К А

О положении территории на тектонических картах и схемах Северо-Востока СССР существует два мнения. Н.П. Анисеев, А.П. Васильковский, И.Е. Прядкин, Г.Г. Потов, В.А. Титов видят здесь Индийский, С.М. Тильман, Н.А. Шило считают, что сюда еще проположаются структуры Яно-Колымской складчатой системы [2]. Автор придерживается второй точки зрения по этому вопросу. Таким образом, территория данного листа охватывает покровы Охотско-Чукотского вулканогенного пояса, наложение на структуры Яно-Колымской складчатой системы (Индиjsкий район полого залегания город Бердюжинского комплекса) [2]. В центральной части района находятся Эльгенданская и Челоминская впадины, принадлежащие Ямо-Гаусской системе неотектонических

депрессий. Пермские и верхнетриасовые терригенные осадки мощностью около 4700 м, слагающие Индийский район полого залегания город верхнеиндо-кото комплекса, образуют первый структурный ярус. Второй структурный ярус, отделенный от первого стратиграфическим и, по-видимому, итоговым несогласием, сложен нижнемеловой угленосной молассой мощностью до 860 м. Покровы верхнего мела Охотско-Чукотского вулканогенного пояса, имеющие мощность до 2000 м и залегающие с угловым несогласием на породах первого и второго ярусов, представляют третий структурный ярус. Четвертый структурный ярус образован неоген-четвертичными отложениями неотектонических впадин, мощность - до 300 м.

Первый структурный ярус

В первом ярусе выделяются два структурных подъярусса, разделенных стратиграфическим несогласием; они отмечены двумя тектоническими этапами геодинамического развития района [2]. Нижний структурный подъярус сложен пермскими породами, верхний - позднетриасовыми. Эти два подъяруса дислоцированы в едином тектоническом плане и участвуют в строении Индийского района пологих дислокаций, охватывающегоパートを含む。また、その他の地質構造要素についても記述されています。

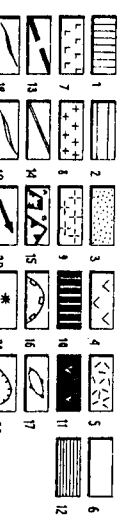
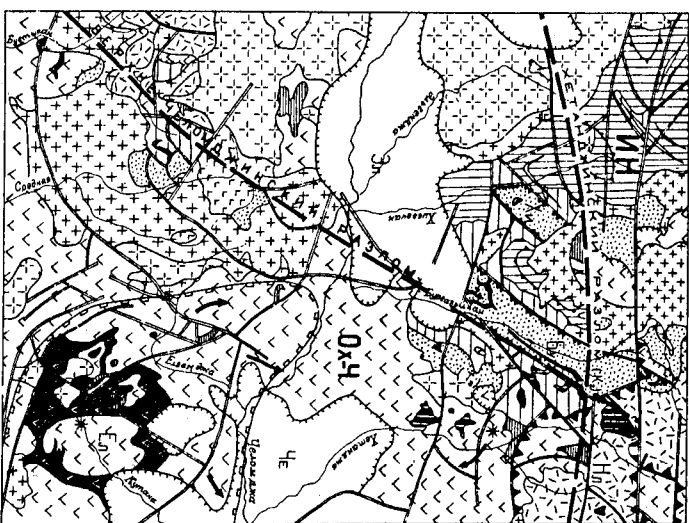


Рис. 2. Тектоническая схема



Первый структурный ярус (ИИ - Индийский район полого залегания город верхнеиндо-кото комплекса): I - нижний подъярус; 2 - верхний подъярус; 3 - второй структурный ярус (Хи - Хиватанская впадина, ЕЧ - Ергатапинская грабен). Третий структурный ярус (О.Ч - Охотско-Чукотский вулканогенно-тектонический пояс): 4 - нижний подъярус (ИИ - Еландинская вулкано-тектоническая депрессия); 5 - Верхний подъярус (ИИ - Надинская структура обрушения); 6 - Четвертый структурный ярус (ЭИ - Эльгенданская впадина, ЧЕ - Челоминская впадина). Позднемеловые интрузии: 7 - габбро, диориты; 8 - гранодиориты, кварцевых диоритов; 9 - лейкократовых гранитов, кварцитов, синклиниальные тела; 10 - палеогеновых базальтов; II - верхнемеловых андезитов; 11 - верхнемеловых андезитов; 12 - верхнемеловых андезитов; 13 - глыбовые разломы в время их заложения; 14 - спорсы, спорово-слиши, взбросы; 15 - грабены (А) и структуры обрушения (Б); 16 - вулкано-тектонические депрессии; 17 - брахиантиклинали; 18 - оси антиклиналей; 19 - оси синклиниальных налесов; 20 - направление движения лавовых потоков; 21 - верхнетриасовые центры извержения; 22 - границы структурных ярусов.

Хиэтанна. На мульде склонена толщей верхнетриасовых пород. Синклиниаль часто осложнена дизъюнктивами. Видимая длина ее около 20 км, ширина 10-12 км. В бассейне Бургатыкана они имеет асимметричную форму: углы падения пород на северо-западном крыле складки достигают 60°, на юго-восточном – 20-30°. Осложненные складки, шириной от 100-200 м до 2 км, на левобережье Бургатыкана ориентированы в северо-восточном направлении, углы наклона крыльев 30-40° и лишь приразломные складки, широтного, северо-восточного простирания, углы падения крыльев 60°.

Из антиклинальных складок наиболее полно представлена антиклиналь в бассейне руч. Икара, вдоль которой вскрыта толща пермских пород. Она в плане неправильной формы, напоминающей фигуру переворота, так что размах крыльев складки изменяется от 4 до 10 км. На крыльях антиклинали углы падения пород изменчивы – от 20° до 60°, ближе к северу они равны 40-50°. Осложненные складки шириной 200-500 м и углами падения крыльев 20-50°, не имеют четкой ориентировки и часто срезаны сбросами. Фрагменты блоков по строению брахиантиклиналь наблюдаются в междуречье Бургатыкана-Хиэтанна и на правобережье Верхней Хетанды.

Тораздо более сложное и напряженное складки установлены в междуречье Ишара-Верхней Хетанды. Здесь в блоках, ограниченных дизъюнктивами, развиты симметричные и асимметричные, иногда остро-замочные складки с углами наклона крыльев от 30-50 до 70-80°. Ширина их изменяется от 50-100 м до 1 км, протяженность наиболее крупных 8-12 км, ориентированы они в северо-восточном и северо-западном направлениях.

Отдельные небольшие участки пород первого структурного яруса наблюдаются в бассейне верхнего течения Бургатыкана. Верхнетриасовыми толщами здесь образована небольшая овальноподковидная окружность формы с углами падения крыльев 30-40°. С востока и запада она ограничена сбросами, на севере и юге – выходами интрузивных пород.

Второй структурный ярус

Угленосная моласса второго структурного яруса выполняет ортогенетические отрицательные структуры, крупнейший из которых является Бургатыканский грабен.

Бургатыканский грабен шириной около 5 км ориентирован в северо-восточном направлении и приложен к мульде синклинали, образованной толщами первого структурного яруса. Видимая длина грабена около 20 км, но не исключено, что он продолжается и на правобережье целом-

да. где в верховых Бургатыкана закартированы отдельные выходы немеловых пород. На западе грабен ограничен пологопадающим сбросом (падение в сторону грабена), на востоке – кругопадающим. Весьма характерно для грабена широкое развитие субвулканических тел андезитов (в основном это сили), которые в обнажениях подчеркивают синклинальную структуру внутри грабена с пологими (10-20°) углами падения крыльев. Лишь вблизи дизъюнктивов углы падения пород увеличиваются до 50-60°.

Другой, Хиэтанчанский грабен, имеющий нижнемеловую толщу расположенный в бассейне среднего течения Хиэтанна. Грабен ориентирован в северо-восточном направлении, длина его около 8 км, ширина 3 км. С запада и востока он ограничен кругопадающими сбросами, на севере – выходами гранодиоритов Маймандинского массива. Характер плакатных сооружений здесь не совсем ясен, но углы падения склонов крутые (60-70°), визуальнуть падения изменчивы, что, по-видимому, свидетельствует о развитии мелкой складчатости.

Третий структурный ярус

Вулканические покровы третьего структурного яруса распространены в бассейнах Хетанды, Баганды, Кутаны, Бургатыкана и занимают площадь около 2000 км². В составе третьего структурного яруса выделяются два подъярусса: нижний, включающий покровы нараудитской, хольчанско-й ульинской синт., и верхний – покровы ольской свиты.

Такое разделение основано на структурных различиях, для нижнего подъяруса характерно широкое развитие пологозатянутых покровов, осложненных вулканско-тектоническими депрессиями. Игнимбриты верхнего подъяруса слагают четко обособленные отрицательные структуры обрушения.

Вулканогенные породы нижнего структурного подъяруса залегают с небольшими углами наклона (10-30°) или горизонтально. Увеличение углов наклона до 40-50° наблюдается вблизи разломов.

Наиболее крупная структура нижнего подъяруса – Багандинская вулканско-тектоническая депрессия, охватывающая бассейны Баганды, Кутаны. Ориентирована она в северо-западном направлении, длина ее около 50 км при ширине 25 км. Выполнена депрессия хольчанско-й тuffами, лавами, игнимбритами кислого состава и ульинскими андезитами. По обрамлению развиты более древние покровы нараудитской свиты. В центральной ее части находится лопотит андезитов колыбельной формы, который подчеркивает синклинальную структуру депрессии. С лопотитом сочетается система колышевых и радиальных разломов. Есть основание предполагать, что здесь имеется заложенный вулканический аппарат центрального типа. В пользу такого пред-

положения свидетельствуют: система колцевых и радиальных разломов, кольцеобразная форма субулканского тела андезитов и иентичность их с покровами ульинских андезитов.

Кроме того, к Еландинской депрессии приурочена аномалия интенсивности 6–8 мэ (рис. 3). В.А.Москалев выделяет здесь блок с глубокой залеганием кристаллического фундамента около 1 км [15]. По настоящему мнению, гравитационный максимум в данном случае обязан существованию магматического очага под верхнеловским вулканом. В настоящее время камера очага, по-видимому, заполнена породами среднего – основного состава, которые вполне могут создавать избыточную плотность порядка $0,2 \text{ г/см}^3$ по отношению к имеющимся породам.

Аэромагнитная аномалия имеет два максимума: в верховых Кутана и в бассейне руч. Бажного. Аномалия названа повышенной намагничностью субулканских андезитов. Магнитная восприимчивость аналогичных субулканских андезитов в бассейне Бургатыкана изменяется от $1000\text{--}1700\text{--}6$ до $7400\text{--}6$ ед. с.с.м [8]. Два магнитных максимума приурочены, вероятно, к вертикальным полюсам каналам.

Другой вероятный центр извержения в пределах нижнего структурного подъяруса находится на правобережье Хетанги [8] в краевой части покрова кварцевых трахитов. Интерпретация данных измерения вектора намагниченности в ориентированных образцах, отобранных по двум пересекающимся профилям, позволяет, по мнению В.П. Каузала [13], выделить здесь подводный субвертикальный канал. В плане он щелевидной формы: длина около 200 м, ширина 50 м.

Итимориты верхнего структурного подъяруса залегают в структурах обрушения. Первая из них (Нелинская) расположена в бассейне Нелины, Хетанды и занимает площадь около 200 км^2 . Она ограничена колцевыми сбросами. Граница итиморитов, застолбленная ее, под углом $10\text{--}20^\circ$ погружается в северо-восточном направлении. В пределах юго-западной окраины структуры развиты вулканиты хольчансской и Ульинской свит, прорваные с субулканскими телами липаритов. Нелинская структура обрушения осложнена радиальными дайбонкитами, величины углов падения которых увеличиваются до 30° . К этой структуре приурочена отрицательная магнитная аномалия, что объясняется слабым намагничиванием отложений итиморитов (магнитная восприимчивость их не превышает $6\text{--}6$ ед. с.с.м).

Фрагменты аналогичной структуры обрушения находятся в верховых Бургакана. Здесь, как и в первом случае, расположена отрицательная магнитная аномалия значений ΔTa .

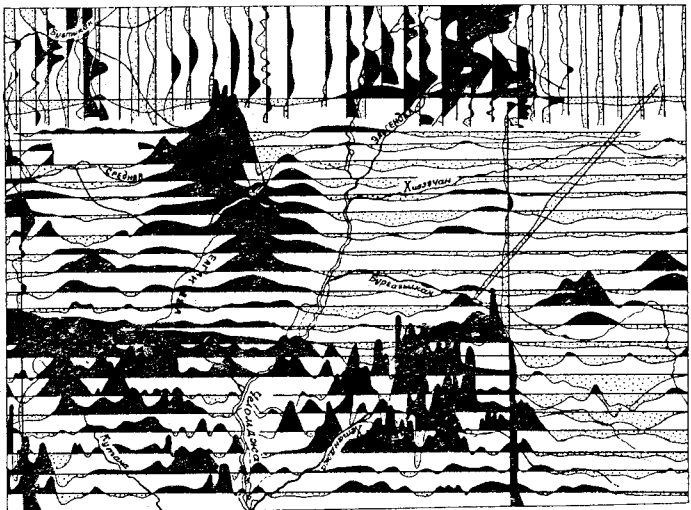


Рис.3. Схема аномального магнитного поля (графики ΔTa)

Четвертый структурный ярус

образования четвертого структурного яруса слагают Эльгендинскую и Челомидинскую неотектонические впадины.

Эльгендинская впадина охватывает левобережье Челомиды в районе впадения ее левых притоков – рек Эльгенды, Хизетчана, Бургатыканка. Впадина ориентирована в широтном направлении. Длина ее около 30 км, ширина 10–12 км. По периферии развиты длизигнативы близкодорногого и субмеридионального направлений. По данным профильной гравиметрической съемки и вертикального электропоницирования (см. рис. I, А) на правобережье Бургатыканы ложе коренных пород неровное, с отдельными выступами и западинами, а мощность рыхлых нижнечетвертичных отложений достигает 200 м. Можно ожидать, что в центральной части впадины ее глубина достигает 500–600 м.

Челомидинская впадина охватывает нижние течения Хетанджи, Еланчики, Кутани и занимает площадь около 300 км². От Эльгендинской впадины она отделена полосой низкогорного плосковершинного рельефа, сложенного вулканическими третичного структурного яруса.

Поверхность Челомидинской впадины плаская, террасирована и сложена современными и верхнечетвертичными образованиями. Западная часть заметно приподнята – здесь появляются нижнечетвертичные отложения. По данным профильной гравиметрической съемки (см. рис. I, Б), ложе коренных пород впадины в ее приподнятой части сравнительно ровное с небольшим уклоном к западу. На левоберегье Хетанджи поверхность коренных пород резко, под углом 40°, погружается на восток, опускаясь ниже уровня моря. Глубина депрессии соответственно увеличивается от 80–180 до 300 м.

По данным В.А. Моксалева [15], к описанным впадинам примечательны отрицательные аномалии силы тяжести: Верхне-Челомидинская и Хурэнская, которые могут быть объяснены отрицательной избыточной плотностью рыхлых отложений.

На территории выделяется два глубинных разлома. Прежнейший глубинный разлом северо-восточного направления (мы называем его Верхне-Челомидинским) прослеживается из верховьев Бутыканы в бассейн Бургатыканы, Хетанджи и далее уходит за пределы района. Хетандинский глубинный разлом выражен серией сближенных блокширотных сбросов, сбросо-сдвигов, прокрученных в зоне высоких градиентов Δg_{av} (1,5–2 мГ/км). В.А. Моксалев [15] проводит здесь границу Яно-Колымской и Охотской аномальных областей, характеризующихся, по его мнению, различной глубиной залегания кристаллического фундамента. Мы придерживаемся точки зрения И.В. Беликова [3], который считает, что региональное гравитационное поле характеризует изменение мощности земной коры. Заложение Хетандинского глубинного разлома произошло, видимо, в позднем мелу, так как он контролирует размещение Нелинский структуры обрушения и подобных структур к востоку от рассматриваемой территории.

Весьма широко на территории развиты разрывные нарушения, среди которых выделяются синклинальные и постыклатные. Синклинальные сбросы, развитые в первом и втором структурных ярусах, видимо, были заложены в конце поздней юры – раннем мелу, зоне разлома получили интрузии габбро, субвулканические тела андезитов и базальтов.

Верхне-Челомидинский разлом скорее всего представляет собой зону, шириной 10–15 км, протяженностью 85 км. К зоне приурочен ряд магнитных максимумов, ограниченный на северо-западе четким полем отрицательных значений ΔT . Наиболее интенсивная магнитная аномалия (до 23,8 мэ) расположена в верховых Средней и пространственно совпадает с интрузией габбро, содержащих до 4–6% титаномагнетита. Магнитная восприимчивость габбро равна 9000–10000–6 ед. CGSM.

Следующая магнитная аномалия интенсивностью 2–5 мэ расположена в междугорье Хетанджи-Бургатыканы и обусловлена магнитными свойствами различных пород. Здесь развиты кварцевые диориты с магнитной восприимчивостью 3000–5000–6 ед. CGSM, кварцевые сиениты с магнитной восприимчивостью до 3000–6 ед. CGSM, покрыты кварцевых трахитов с магнитной восприимчивостью до 4000–6 ед. CGSM. В районе излучины Бургатыканы расположена еще одна магнитная аномалия интенсивностью 2–5 мэ. Пространственно она связана с восточным эндоконтактом Матмандинского массива, где магнитными породами являются гранодиориты, обладающие магнитной восприимчивостью в 3000–6800–6 ед. CGSM. На оставшейся части массива гранодиориты немагнитны.

Таким образом, проявление магнитных свойств у различных пород в зоне глубинного разлома существует, по-видимому, в генетической связи с ним магнитных аномалий.

Второй глубинный разлом (мы называем его Хетандинским) прослеживается в широтном направлении из бассейна верхнего течения Хизетчана через долину Бургатыканы в верховья Хетанджи и далее уходит за пределы района. Хетандинский глубинный разлом выражен серией сближенных блокширотных сбросов, сбросо-сдвигов, прокрученных в зоне высоких градиентов Δg_{av} (1,5–2 мГ/км). В.А. Моксалев [15] проводит здесь границу Яно-Колымской и Охотской аномальных областей, характеризующихся, по его мнению, различной глубиной залегания кристаллического фундамента. Мы придерживаемся точки зрения И.В. Беликова [3], который считает, что региональное гравитационное поле характеризует изменение мощности земной коры. Заложение Хетандинского глубинного разлома произошло, видимо, в позднем мелу, так как он контролирует размещение Нелинский структуры обрушения и подобных структур к востоку от рассматриваемой территории.

Весьма широко на территории развиты разрывные нарушения, среди которых выделяются синклинальные и постыклатные. Синклинальные сбросы, развитые в первом и втором структурных ярусах, видимо, были заложены в конце поздней юры – раннем мелу, зоне разлома получили интрузии габбро, субвулканические тела андезитов и базальтов.

Простирание их северо-восточное, реже северо-западное и в общем со-
гласуется с ориентировкой складок, протяженность от 2-3 до 20 км.
Сбросы с максимальными амплитудами смещения (от 700-1000 до 1500-
2000 м) распространены в нижнем подъярусе первого структурного яру-
са. В отложениях верхнего подъяруса и второго яруса амплитуда сме-
щений резко сокращается от 500-600 до 200-300 м. Плоскости смеши-
телей таких сбросов обычно близки вертикальным, редко пологим (30-
40°), как, например, у сброса, ограничивающего запада Бургаты-
канский грабен. Составляющие дилайнктины сопровождаются зонами
дробления пород шириной до 60-70 м. Несомненно, позднемеловые-ранне-
меловые разрывы подносялись в верхнем мелу и палеогене.

К последней группе (верхнемеловым-пaleогеновым) дилайнктикам
отнесена система широтных, колышевых и радиальных разломов, кото-
рые следуют вулканогенные образования, позднемеловые интрузии и
ориентированы акрест простирации складчатых структур. Среди них
преобладают кругопадающие сбросы, реже встречаются своды и взбо-
ры.

Крупнейший дилайнктик этой группы левосторонний свод широтно-
го направления, прослеживающийся из бассейна верхнего течения Хи-
вачана в верховья Хетанджи на расстояние около 55 км. В рельфе
он выражен цепочкой седловин, в пределах которых города интенсивно
раздроблены. Выделяя амплитуду горизонтального смещения вдоль дилай-
нктика различна: для Грандоморгов Маниндинского массива она рав-
на 2 км, для вулканической синклинирии 4-5 км. Не исключено, что
здесь сказалось вертикальное перемещение, однако оценить их ампли-
туду трудно. Остальные разломы широтного направления относятся к
кругопадающим сбросам с амплитудой смещения от 100-200 до 600-700 м,
протяженность их от 5-7 до 40 км.

В бассейне верхнего течения Хетанджи наблюдается система колы-
цевых и радиальных кругопадающих сбросов с ам-
плитудой смещения в первые сотни метров. Они пророчены к пересече-
нию Верхне-Чагоджинского и Хетанджинского глубинных разломов и,
по-видимому, возникли в ходе формирования Нелинской структуры об-
рушения.

В бассейнах Кутаны, Етанджи система колышевых и радиальных
разломов сочетается с вулканическим аппаратом центрального типа.
Эти разломы были заложены, очевидно, в ульинское время. Дилайнктик
этой системы, ограниченный с юго-запада Етанджинской депрессией
относится к пологопадающему сбросу — его плоскость заметно наклоне-
на в северо-восточном направлении, остальные разломы представлены
сбросами. Амплитуду смещения по ним оценить трудно, но, вероятно,
она не превышает первых сотен метров.

В бассейнах Бутыкана и Средней кольцевые и радиальные сбросы
повторяют очертания Верхне-Чагоджинского интрузива. Максимальная
амплитуда смещения (до 400-500 м) по нему наблюдается в верховых
Бутыкана, где на дневную поверхность выведены блоки осадочных по-
род верхнего триаса и нижнего мела. В основном же амплитуда сме-
щения по нему не превышает 100-200 м. Часто они сопровождаются ши-
рокими (до 100 м) зонами дробления.

Неотектонические движения выражались в подъемах отдельных
более древних дилайнктиков широтного направления, о чем свидетельст-
вует образование Эльгенджинской и Челомджинской впадин. Неотектони-
ческие движения происходили, вероятно, вдоль северо-восточного
сброса, ограничивающего на западе Бургатыканский грабен. В настоя-
щее время этот сброс разграничивает различные типы рельфа и вида-
жен уступом высотой 200 м. Вероятно, неотектоническим движением
обязан своим возникновением уступ в ложе коренных пород Челомджин-
ской впадины, зафиксированный гравиметрической съемкой на левобере-
жье Хетанджи (см. рис. I, Б).

Потерия геологического развития описываемой территории может
быть восстановлена с ранней перми, когда в северо-западной части
района накапливались преимущественно алевритовые осадки в условиях
геосинклинального режима. В начале верхнепермской эпохи, в связи с
расширением Охотской сушки и приближением береговой линии моря, фор-
мировались пестро-галечные морские отложения с растительными ос-
татками. Характерно обилие вулканомиктового материала, образован-
шегося при разлете полей андезитов, дацитов, слагавших участки су-
ши.

По данным О.Г.Эшпейна [21], в казанском веке, характеризо-
вавшемся холодным климатом, обломочный вулканомиктовый материал
разносился береговыми ледами и освобождался по мере таяния их, что
привело к образованию своеобразных "галечных" алевролитов аткаинской
свиты. В конце позднепермской эпохи море отступило за пределы тер-
ритории и до начала позднего триаса здесь не накапливались осадки.
В карийском веке морское осадконакопление началось в юго-восточ-
ной части района; на северо-западе по-прежнему находилась суша,
вблизи которой формировались матомочные (100-150 м) песчаные отло-
жения, сменявшиеся по мере удаления от берега глинистыми осадками
мощностью более 500 м. В начале юрского века осадконакопление
возобновилось на всей территории и продолжалось, видимо, в течение
юрского периода.

В конце поздней юры или — начале раннего мела интенсивные
складчатые движения привели к замыканию геосинклинали. Непрерывное
воздвижение территории в раннем мелу, сопровождавшееся пликативными

и дислокационными дислокациями, привело к формированию горного рельефа и накоплению в межгорных впадинах утленной молasse.

На протяжении всего позднего мела происходили дислокационные дислокации, сопровождавшиеся интенсивным вулканизмом и внедрением гранитоидов. В палеогене вулканизм затухает и образуются лишь немногие судовулканические тела базальтов.

В конце неогена – начале антропогена блоковые движения щолью широких разломов привели к образованию неотектонических впадин. В течение четвертичного времени происходило частичное поднятие древних разрывов и формирование современного рельефа.

ГЕОМОРОФОЛОГИЯ

Территория является частью Охотско-Чукотской геоморфологической области, входящей в состав обширной Яно-Чукотской горной страны [3]. Современный рельеф бассейна верхнего течения Челомдии создан различными экзотическими процессами в обстановке новейших тектонических движений.

По генезису выделяются формы рельефа: созданные комплексной денудацией, флювиальные, ледниковые и водно-ледниковые. Рельеф озоданный комплексной денудацией, представлен тремя типами горно-долинных ландшафтов межречий.

Первый тип, представляющий собой среднегорье и расщепленное низкогорье, характерен для межгорья Бургатыкана-Хетанды, дас-сейнов верхних течений Хетанды, Бургатыкана, Черепуховки (рис. 4). Водораздельные гребни здесь узкие, нередко острые, зубчатые, реже широкие, стлаженные. Абсолютные высоты вершин изменяются от 900 до 1200 м, достигая в отдельных случаях 1381 м; относительные превышения 500–800 м. Слоны долин довольно круты (20–30°), примерно на половину покрыты густой растительностью, выше к водораздельным требованиям появляются купально-подъемные осины, выходы коренных пород. Речные долины непширокие, имеют U-образный или трапециевидный поперечный профиль. В верховых руч. Икера в русле наблюдаются выходы коренных пород. В верховых Хетанды, Бургатыкана, где развиты ледниковые цирки и карнизы, абсолютные высоты вершин достигают 1348–1381 м, рельеф по облику приближается к альпийскому.

Второй тип, представляющий собой слаборасщепленное низкогорье, относится к обрамлению неотектонических впадин, прослеживающееся в широком направлении по берегам Челомдии. Кроме того, комплекс форм, рельефа этого типа ландшафта в виде полосы (ширины 5–6 км) протягивается вдоль р. Бургатыкана до излучины, далее эта полоса поворачивает на восток, в верховья Хетанды, и уходит за пределы рассмат-

риваемой территории. Другая аналогичная полоса (ширины 2–5 км) прослеживается щолью долин Средней и Еландини. Горно-долинные ландшафты второго типа развиты также на небольшом участке в межгорье Икера-Верхней Хетанды.

Водораздельные пространства в пределах горно-долинных ландшафтов второго типа сравнительно широкие, спадющие с абсолютными высотами поверхности 600–800 м и относительными превышениями над дном долин 560–600 и 680–720 м; их относительные превышения над дном долин соответственно равны 160–200 и 240–300 м. Иногда на плоскогорьях встречаются небольшие хорошо окатанные валуны гранитоидов и галька различных пород. По-видимому, это реликты молодой поверхности выравнивания раннеледникового возраста, в отдельных случаях финального происхождения. Описанный рельеф благоприятен для формирования россыпей, так как образован в условиях умеренного поднятия.

Горно-долинные ландшафты третьего типа, приближающиеся по облику к холмисто-увалистому рельефу, примикают непосредственно к неотектоническим впадинам, а также в виде прерывистой полосы прослевидящей щольи рек Средней и Еландини. Водораздельные пространства здесь широкие с абсолютными высотами карбонатогенных вершин 400–600 м и относительными превышениями над дном долин 150–200 м. Долины широкие, хорошо разработаны, склоны их пологие (5–10°) за-болочены и покрыты рыхлыми отложениями мощностью до 5 м. Коренные выходы речки и наблюдаются обычно на водораздельных пространствах в виде останцов приугливовой формы. В межгорье Бургатыкана-Хетанды на склонах и водоразделах нередко наблюдаются отдельные валуны и галька интрузивных, афризитных и осадочных пород.

К финальным формам рельефа относятся речные поймы, пойменные и надпойменные террасы, участки съездо расщепленной аллювиальной равнины в пределах впадин. Поймы и пойменные террасы высотой 1–2 м наблюдаются во всех долинах наиболее крупных водотоков. Ширина поймы в пределах горно-долинных ландшафтов изменяется от 100–200 м до 1–2 км в зависимости от величины водотока. В пределах неотектонических впадин пойма нередко заболочена (долины рек Важного, Кутаны, Эгленда), а ширина ее возрастает до 5–10 км. Пойменные террасы

имеют горизонтальную поверхность, иногда с промонами, четкие бровки и обрывистые уступы. Возраст пойм и пойменных террас – голоценовый.

I надпойменная терраса развита в долинах Хиватчана, Бургатыкане, Хетанды, Челомжи, Бутыкана, Средней, Кутаны и др. Высота ее изменяется от 4–6 м в низовых рек до 3 м в верховьях. Ширина террас в пределах горно-долинных ландшафтов от 200–400 м до 1 км, а в районе Челомдинской впадины – достигает 5–6 км (простираясь часть р. Кетанды). Терраса в большинстве случаев аккумулятивная. На правобережье Челомжи (против устья Хиватчана) и в прустьевой части руч. Нижнего терраса эрозионно-аккумулятивная, высота покоя 1–2 м. В долине руч. Восточного I надпойменная терраса эрозионная. Поверхность террас горизонтальная или слегка наклонена в сторону русла, бровка и тыловая полога, уступы круты (от 40–45° до вертикального). В долинах Вакного, Кутаны (Челомдинская неогеокартическая впадина) терраса сложена торфянниками и имеет отрицательный микрорельеф. Небольшие западины здесь часто заняты озераами, видимо, терракарстового происхождения.

Как форма рельефа I надпойменная терраса сформирована в сарташской стадии позднеплейстоценового оледенения и в пределах горно-долинных ландшафтов сложена аллювием этого же возраста. В прустьевой части р. Хетанды, в районе неогеокартической впадины, I надпойменная терраса сложена частично ненаплывистоценовым аллювием, что свидетельствует о поднятии этого участка в постнем плистоцене.

II надпойменная терраса высотой 8–13 м наиболее широко развита в неогеокартических впадинах (долины Челомжи, Хетанды), где ширина ее достигает 3–4 км. В пределах горно-долинных ландшафтов она встречена в виде фрагментов шириной 200–500 м по долинам Хиватчана, Бургатыканы, Хетанды, Бутыкана, Средней и др. В большинстве случаев терраса аккумулятивная, в долине Бутыкана – эрозионно-аккумулятивная.

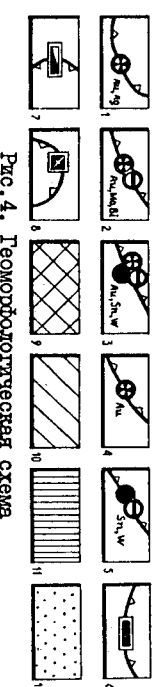
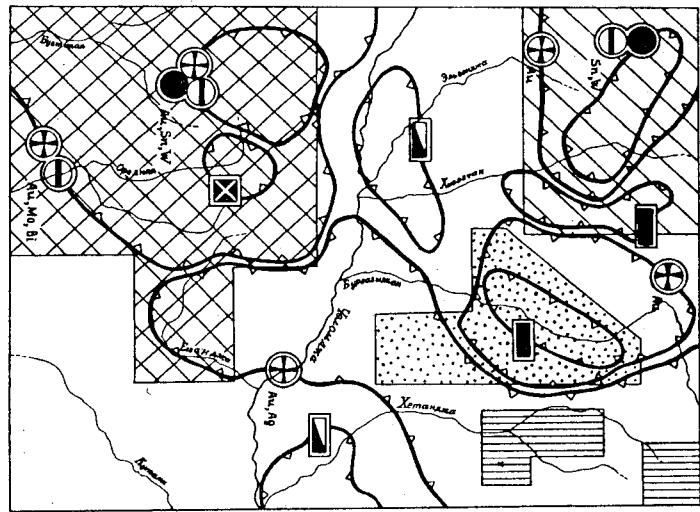


Рис. 4. Геоморфологическая схема.

Горно-долинные ландшафты, созданные комплексом денудаций: 1 – первого типа (абсолютные высоты вершин 900–1200 м, относительные превышения 500–800 м, утлы склонов долин 20–30°); 2 – второго типа (абсолютные высоты вершин 600–800 м, относительные превышения 200–350 м, утлы склонов долин 10–20°); 3 – третьего типа (абсолютные высоты вершин 400–600 м, относительные превышения 150–200 м, утлы склонов долин 5–10°); 4 – редклины молодой поверхности, выравнивания приподнятые ступени. Оливковые формы рельефа: 5 – редклины на пленительстогеновой аккумулятивной равнине (в том числе смешанные террасы 150–160 м); 6 – II надпойменная терраса (верхний плеистоцен, каргинский маастрихт); 7 – II надпойменная терраса (верхний плеистоцен, каргинский маастрихт); 8 – I надпойменная терраса (верхнеплейстоценового оледенения (сартанская стадия)); 9 – колодезевые полы и полынье – террасы ланджиковые и волно-лонгитоновые формы рельефа; 10 – кары; 11 – участки размытого рельефа основной морены



длительная, в долине руч. Восточного – зрозионная. Поверхность террасы захвачена, местами заблоочена и имеет небольшой уклон в сторону русла. На левобережье Хетанджи, в пределах Челоминской впадины, терраса сложена торняниками и имеет буристый микрорельеф. Бровка и уступы террасы четкие лишь на участках современной боковой эрозии, в остальных случаях они деформированы ледникально-солифлюкционными процессами. II надподъемная терраса сформирована в конце межстадиала позднеплейстоценового оледенения.

Наиболее сохранность III надподъемной террасы высотой 25–30 м имеет в среднем течении Хетанджи (ширина около 500 м) и в краевой части Челоминской впадины (ширина около 800 м). Терраса аккумулятивная, бровка и уступы четкие, поверхность неровная с заметным уклоном ($5\text{--}10^\circ$) в сторону русла. Время формирования ее – каргинское потепление позднеплейстоценовой эпохи оледенения.

Террасы высотой 150–160 м развиты в окраинных частях неогеотектонических впадин (левобережье Эльганджи, правобережье Хетанджи, приусадебная часть Еланчаки). Поверхность их заблоочена и имеет заметный уклон (до 10°) к центру впадин. В этом же направлении погружаются и поколы. Бровка и уступы почти не выражены. Наиболее вероятный возраст их – ранний плиоцен.

Участок слабо расщлененной аллювиальной равнины расположен в восточной части Эльганджинской впадины и сложен мощной толщей (до 200 м) нижнеплейстоценового яйлаяма эпохи оледенения. Поверхность здесь слабо расщлененная – узки склонов не превышают $5\text{--}7^\circ$, максимальная абсолютная высота 526 м, относительные превышения 150–180 м. Склоны и водоразделы обычно захвачены, лишь в отдельных промежутках и бортах долин обнажаются галечники.

Ледниковые формы рельефа, представление цирками и моренами сартанской стадии позднеплейстоценового оледенения, распространены в верховых Хивагчана и на водоразделе Чаломда-Бутычана. Ледниковые цирки наблюдаются на абсолютных высотах 1100–1300 м. Диаметр их достигает 1–1,5 км, глубина ранна 200–250 м. Цирки обладают крутыми склонами и четко выраженным порогом. Днища цирков широкие, плоские, часто с небольшими озерами.

Морены обладают холмисто-западинным микрорельефом в центральных частях, а заканчиваются колечными валами. Начинается морены в долинах водотоков, в истоках которых расположены цирки. Узкие (100–150 м) в верхних частях языкообразные темы морен постепенно расширяются до 0,5–1 км, иногда сливаются с соседними и спускаются до высоты 600–700 м. Высота конечных моренных валов достигает 10–15 м при длине 200–300 м и ширине 20–30 м.

Водно-ледниковые отложения слагают аккумулятивную террасу в верховых Хивагчана. Поверхность ее ровная, склонка наклонена в сторону русла. Бровка четкая, высота 6 м.

Круглые формы рельефа, представленные наледными полянами, редки и встречаются в долинах Верхней Хетанджи, Хетанджи, Паруса. Наиболее крупные из них занимают площадь до $1,5 \text{ км}^2$. Наледные поляны представляют собой плоские ровные участки полынь долин, лишенные растительности и сложенные валунно-галечным материалом.

На территории установлен ряд древних долин. Одна из них – древняя долина р. Бургатылкана подчеркивается полосой горно-долинных ландшафтov второго типа (рис.4), в пределах которой развиты подземные выравнивания физико-географического происхождения. В междууречье Бургатылкана-Озерного установлен нижнеплейстоценовый аллювий, выложенный небольшой седловиной, которая возвышается над современным руслом Бургатылкана на 140–150 м. Наиболее вероятный возраст этой древней долины – ранний плиоцен.

Вторая древняя долина, выделяемая по аналогии с вышеописанной, подтверждается полосой горно-долинных ландшафтov второго и третьего типов, прослеживающихся вдоль рек Средней и Еланчаки. Возраст этой долины – ранний плиоцен.

А также находится аномально широкая долина руч. Важкого.

Литологические особенности дочетвертичных пород существенно не влияют на характер современного рельефа, но геологические структуры в отдельных случаях находят в нем отражение. В виде уступов высотой до 200 м выражены, например, разломы на правобережье Бургатылкана и в верховых Хетанджи. Они разделяют среднегорье и низкогорье. К окраинам неогеотектонических впадин приурочена система широтных и близмеридиональных длизьюнктивов. Отдельные притоки Хетанджи, Хивагчана выработали свою долину вдоль тектонических нарушений. Полоса слабо расщлененного низкогорного рельефа на отрезке долины Бургатылкана совпадает с нижнечелюстным грабеном.

Начало континентального периода в районе приходится на ранний мел. В неогеновом периоде территория представляла собой, вероятно, пенепланелизованный полого-холмистую равнину [3]. По-видимому, в плиоцене произошло заложение Эльганджинской и Чаломджинской впадин. Их контуры определялись системой обновившихся более древних длизьюнктивов. В связи с понижением базиса эрозии оживилась эрозионная деятельность водотоков на участках, примыкающих к впадинам, чем было положено начало формированию гор.

В эпоху раннеплейстоценового оледенения в потухание были во-
влечены новые участки (бассейны Эльтенжи, Быкого, Ванного, Кута-
ни), что привело к образованию единой впадины. В результате запол-
нения впадина к концу раннего плеистоцена представляла обширную ал-
лювиальную равнину с мощной (до 200-500 м) толщей рыхлых отложений.
Ширина равнин на отдельных участках достигала 20-30 км, протяжен-
ность 60 км. В это же время определились направления основных водо-
ток и продолжали формироваться горы.

В начале среднечетвертичного времени, по-видимому, произошло
обособление Эльгенджинской и Челомдянской впадин и началось рас-
щепление раннеплейстоценовой равнин в связи с поднятием отдельных
ее участков. В конце среднечетвертичного – начале позднечетвертич-
ного времени в поднятия были вовлечены, видимо, новые участки впа-
дин, в частности правобережье нижнего течения Хетанды. В это же
время, вероятно, в связи с неравномерным поднятием территории про-
исходило перераспределение гидросети. Река Верхняя Хетанда пере-
хватила верховья Таса – левого притока Ини. Несколько сместилась
к северу и приобрела современное положение долина Бугратыкана. По-
ложение, близкое современному, приобрела реки Еланчика и Средняя.
Во второй половине позднечетвертичного времени началось похо-
лодание, приведшее к образованию небольших ледников в пределах Май-
манджинского и Верхне-Челомдянского массивов. К этому времени от-
носится формирование I, II и III надпойменных террас в долинах водо-
токов. В голоцене формировались почвы и пойменные террасы.

П О Л Е З Н И Е И С К О П А Е М Й Е

Металлогенические особенности территории определяются ее по-
ложением в Охотско-Чукотской золотоносной субпровинции [7], охва-
тывающей структуры одноименного вулканогенного пояса и широко раз-
витые в его пределах интрузивные образования. Для Охотско-Чукотско-
го пояса характерны как "шлughtенные", так и "вулканогенные" место-
рождения и проявления полезных ископаемых [7]. С интрузивными об-
разованиями в районе пространственно и, по-видимому, генетически
ассоциируют месторождения и проявления золота, молибдена, свинца,
цинка, редк. вольфрама, олова. В ассоциации с покровами зеркальных
и субвулканических телами установлены золото, серебро, свинец,
цинк, олово. Ведущая роль в Охотско-Чукотской золотоносной субпро-
винции принадлежит золото-серебряным месторождениям элигерманного
типа.

В описываемом районе месторождения полезных ископаемых пока
не открыты. Проявления золота, серебра, цветных и редких металлов

здесь локализуются в зонах Верхне-Челомдянского и Хетандянского
глубоких разломов, наиболее активно проявляющихся в позднем мелу –
палеоцене. Можно полагать, что и оруденение в основном имеет такой
же возрастной диапазон. С нижнемеловыми орогенными структурами рай-
она связаны проявления каменного угля.

Г О Р Д Ч И Е И С К О П А Е М Й

Каменный уголь

Проявление каменного угля установлено в верховых Хватчана.
Здесь на правом берегу реки обнажаются нижнемеловые углисто-тианис-
тие сланцы, переслаивающиеся с песчаниками и содержащие тонкие (до
10 см) прослои каменного угля (1-2-3). Изучение качественной харак-
теристики и химического состава углей не проводилось, но можно пред-
полагать, что они аналогичны углем Чаломдянского месторождения,
расположенного севернее описанной территории, в бассейне Широкой.
Угли этого месторождения некоксующиеся, энергетические, озерно-
золотого происхождения. Они относятся к кластиковым с кислотоустре-
нной основной массой, теплотворная способность их 7539-8338 кал
[19].

Из других горючих ископаемых следует отметить торянники, спа-
гажные I и частично II надпойменные террасы в долинах Хетанды, Ку-
тани, Ванного. Торянники распространены на площади около 100 км²
при мощности от 3-4 до 6 м. В уступах террас торянники обнаруживают
плоскую текстуру и часто загрязнены минеральными частичками. Изуче-
ние качественной характеристики и определение запасов торфа не про-
водились.

МЕТАЛЛИЧЕСКИЕ ИСКОПАЕМЫЕ

Свинец, цинк

Рудопроявления свинца установлены в верховых руч. Икара (за-
падный эзго- и эндоконтакт Маймандянского гранитоидного массива)
и Межуречье Нелин-Хетанды (среди вулканических покровов поздне-
го мела). Основным минералом, содержащим свинец, является галенит,
образующий кубические зерна размером до 1-2 мм.

В верховых руч. Икара галенит обнаружен в кварцевой жиле (I-
2-2), секущей верхнепермские песчаники, и в пемматитовой жиле (I-
2-1), секущей кварцевые диориты Маймандянского массива. Кварцевая
жила северо-восточного простирания, протяженность ее несколько де-

стаков метров, мощность 0,2 м; она содержит более 1% цинка, 0,01% меди, 0,001% вольфрама. В пегматитовой жиле мощностью 0,1 м содержание свинца – 0,5%.

В междуручье Нелини-Хетанджи галенит содержит окварцованные и сульфидизированные андезиты ульинской свиты близ контакта с субвулканическим телом липаритов (Г-4-10). Оруденение прослежено двумя канавами на расстояние 200 м, ширина полосы галенитсодержащих пород около 1 м [8]. Содержание свинца здесь достигает более 1%, цинка – 1%, серебра – 30–50 г/т. Кроме того, свинец в количестве 0,5–1% встречается в кварцевых жилах совместно с золотом (Г-4-14; 16).

Произнесение цинка установлено в верховых Бутыканы, в экзоконтакте Верхне-Челомджинского гранитоидного массива. Первое из них (Ш-1-4) связано с окварцованными и пиритизированными андезитами ульинской свиты, содержащими сбальерит в виде мелких (до 0,5 мм) зерен неправильной формы. Кроме цинка (1%), здесь обнаружены марганец (1%), медь (0,01%) и ванадий (0,02%). Параметры оруденения не установлены.

Другое проявление цинка (ГУ-1-1) связано с кварцевой жилой, секущей итникобриты опоковой свиты и содержащей вкрашенность сфalerита, арсенопирита. Содержание цинка здесь достигает более 1%, мышьяка – 0,1%, вольфрама – 0,03%, молибдена – 0,01%. Судя по величине обломков кварца в лежахине, мощность жилы не менее 0,2 м, простижение и длину установить не удалось.

Олово

Коренных проявлений олова на территории не обнаружено, если не считать одного золотого рудопроявления, где содержание олова равно 0,001% (Ш-1-2). В аллювии таких рек, как Челомджа, Бутыкан, Хиватан, Верхняя Хетанджа, Бутыкан и др., в виде единичных зерен довольно часто встречается касситерит. Шлиховые пробы с весами содержаниями касситерита грушируются на двух участках: в бассейне руч. Икара и междуручье Челомджа-Бутыканы, образуя четкие ореолы рассеяния.

Первый ореол рассеяния касситерита (Г-1-4), расположенный в бассейне руч. Икара, занимает площадь около 40 км² и приурочен к штоку лейкократовых гранитов. Ореол рассеяния в междуручье Челомджа-Бутыканы (Ш-1-1) пространственно также совпадает с выходом лейкократовых гранитов, но площадь его больше – около 220 км².

^{x)}Здесь и далее спектральный анализ.

Касситерит обычно встречается в виде мелких (0,5–0,6 мм) уложенных зерен неправильной формы, реже наблюдаются более крупные (до 2–4 мм) хорошо отграниченные кристаллы. Окраска самая разнообразная: красная, бурая, черная, темно-бурая; встречается бесцветный касситерит. Содержания касситерита достигают 15–40 г/м³ в 10% проб. Нагар, а в междуручье Челомджа-Бутыканы – и с золотом.

Редкие металлы и элементы

Мolibден

Рудопроявления молибдена встречены в бассейне Бутыканы, в верховых руч. Восточного и связаны с кварцевыми жилами, прожилками, содержащими вкрашенность молибденита и халькопирита.

Максимальное содержание молибдена (1%) установлено в кварцевом прожилке мощностью 5 см (Ш-1-5), секущем окварцованные и пиритизированные андезиты ульинской свиты. В кварцевой жиле мощностью 0,5 м и протяженностью около 800 м, секущей ороговикованные андезиты, содержание молибдена 0,05% (ГУ-1-2). В верховых руч. Восточного, секущей молибденита – 0,05% (ГУ-2-1), секущей гранодиориты Верхне-Челомджинского массива, помимо молибдена (0,05%), обнаружен марганец (1%), медь (0,3%) и ванадий (0,01%). Мощность жилы 0,2 м, протяженность несколько десятков метров.

Висмут

Проявление висмута (Ш-2-3) установлено в верховых Еланчаки в кварцевой жиле, секущей гранодиориты Верхне-Челомджинского массива. Мощность жилы около 0,5 м, протяженность, видимо, несколько десятков метров. Кварц массивный с охристыми налетами, иногда брекчийский текстуры и с вкрашенностью пирита. Штульным опробованием здесь обнаружены висмут (1%), молибден (0,3%), вольфрам (0,05%).

Вольфрам

Коренных проявлений вольфрама, помимо вышеотмеченных небольших концентраций в проявлениях свинца, цинка, висмута, на территории не выявлено. В аллювии рек вольфрамовые минералы (вольфрамит, шеелит)нередко ассоциируют с касситеритом, а также образуют два самостоятельных ореола рассеяния: в бассейне Верхней Хетанджи и верховых руч. Колчана.

Первый ореол рассеяния вольфрама (Г-1-1) приурочен к экзоконтакту лейкократовых гранитов, разнится среди первых осадочных

пород и занимает площадь около 25 км². В отдельных щлиховых пробах шеелит здесь составляет 25–40% шлиха. Второй ореол рассеяния (П-2-1) плоночью около 10 км² расположен в пределах штока кварцевых диоритов. Содержание шеелита здесь меньше и не превышает 5% шлиха.

Кроме того, в ореолах рассеяния олова (Г-1-4; Ш-1-1) отдельные пробы содержат вольфрамит в количестве 2,5–5 г/т³ (бассейн руч. Икара, правобережье Челанджи).

Шеелит встречается в виде молочно-белых окатанных и полукатанных зерен размером от 0,1–0,2 до 2 мм. Вольфрам наблюдается в виде таблитчатых и призматических кристаллов со стяжениями угла-ми. Цвет — черный, коричнево-бурый, размер 1–2 мм.

В бассейнах Средней, Геганджи установлен также галенит, кото-

рый содержит грейзенизированые породы, пегматитовая жила, и ванадий, проявления которого связаны с пиритизированными аниезитами, редко с кварцевыми жилами. Содержания ванадия не превышают 0,03%, ванадии 0,3%.

Благородные металлы

Золото

Коренные и россыпные проявления золота в районе локализуются в пределах двух золотоносных зон: Верхне-Челомджинской и Хетанджинской. Верхне-Челомджинская зона прослеживается в северо-восточном направлении из верховьев Бургагыкана в бассейн Хетанджи на расстояние около 80 км при ширине 20–30 км. Пространственно она совпадает с Верхне-Челомджинским глубинным разломом такого же направления. Хетанджинская зона имеет широтное направление и охватывает бассейны Верхней Хетанджи, Хивычана, Бургагыкана, Хетанджи. В районе р. Хетанджи она пересекает Верхне-Челомджинскую золотоносную зону. Видимая ширина Хетанджинской зоны около 20 км, протяженность около 60 км. Пространственно она совпадает с Хетанджинским глубинным разломом такого же направления.

Большинство коренных проявлений золота (28 из 36) локализуется среди позднемеловых вулканогенных образований, гораздо реже золотосодержащие тела размещаются в интрузивах и терригенных породах первокого и триасового возраста. В гранитах листа карта золото содержит кварцевые жилы, минерализование зоны дробления и зоны кварцевого прожилкования, метасоматически окварцированные вулканогенные, суб vulkanitические породы, даики. Золотоносные кварцевые жилы наиболее часто встречаются в покровах хольчансской, ульинской, реже ольской свит. Метасоматическое окварцевание в большей степени характерно для пород хольчанской свиты и суб vulkanitических тел липаритов. По видущим металламрудопроявления относятся к золото-серебряному типу.

Подавляющее большинство (21 из 28) золотосодержащих тел сконцентрировано в районе пересечения Верхне-Челомджинского и Хетанджинского глубинных разломов (бассейн верхнего течения Хетанджи). Размещение золоторудных проявлений здесь контролируется сбросами олигомеридионального и северо-восточного направлений, вдоль которых имеющиеся породы пиритизированы, местами пропилитизированы и окварчованы (плиты по вторичных кварцитов кварн-гидрослюдистой фации).

Золотосодержащие кварцевые жилы (Г-4-2; 9, 14, 15, 16, 17; П-4-2;

ГУ-1-3) ориентированы в олигопиритовой, северо-восточной и олигомеридиональной направлениях. Мощность их изменяется от 0,2–0,4 до 1,5–3 м, протяженность — от нескольких десятков метров до 800 м [8].

Наиболее мощные и протяженные из них расположены в истоках Хетанджи, где жилы секут птичий хольчанской свиты. Слагают жилы кварц — серый, молочно-белый, иногда халцедонизированный, совместно с ним встречается розоватый адуляр. Текстура кварца — массивная, друзовая, бреекчия, разе полосчатая, кокардиная. Изредка наблюдаются пылевидная вкрапленность пирита, галенита, сфalerита, арсено-пирита и сульфосолей серебра [8]. По данным спектрального анализа, жила содержит золото (0,1–0,5 г/т), серебро (10–100 г/т), иногда — более 1% смысла, цинка. В одном случае (Г-4-9) штурная проба, отобранная из обломков кварцевой жилы в делювии, показала содержание золота 3 г/т, серебра — 1000 г/т [8].

Золото отмечено в виде мелких (менее 1 мм) зерен, которые иногда обнаруживаются в протолоках штучных проб (Г-4-16). Сульфосоли серебра находятся визуально в штуках (Г-4-9). Кварцево-жильная зона (Г-3-3) широтного простирания находится на левобережье Бургагыкана, в районе излучины, и приоткрыта к северу такого же направления.

Протяженность ее около 600 м, мощность до 60–70 м. Здесь насчитывается около шести жил мощностью 3–5 м. Содержание золота в отдельных штучных пробах, отобранных из бреекчийского кварца жил, достигает 0,5 г/т.

Золотосодержащие зоны дробления и зоны кварцевого прожилкования (Г-4-4; 6, 7; П-4-1, 5; 1-3-5) тяготят к длиззынитам олигомеридионального широтного направлений и расположены в бассейне Хетанджи. Мощность их изменяется от 0,3–0,5 до 5–10 м, а протяженность — от нескольких десятков до сотен метров. Содержание золота в них обычно равно 0,1–0,3 г/т, серебра — до 10 г/т. Исклучение представляют зоны кварцевого прожилкования (Г-4-3), вскрытая канавой в истоках Хетанджи, среди птичий хольчанской свиты. Зона приурочена к сбросу олигомеридионального направления и содержит до 3 г/т золота, 50 г/т серебра, 0,03% сурьмы. Мощность зоны 2 м, по простиранию она не прослежена.

Участки золотосодержащих гидротермально измененных пород ус-

тановлены в междууречье Налмы-Хетанджи (I-4-6, 8, II, I2, I3; II-4-4) и верховых Хивягчана (II-2-5). Первый из них ориентирован в субмеридиональном направлении и приурочен кбросу такого же направле-

ния, склонив его около 35 км². Андезиты ульинской и итимориты холь-чанской свиты притягиваются, местами пропилитизированы и оквартированы. Золото в количестве 0,1-0,3 г/т обычно встречается в оквартированных эжкузиях или вторичных кварцитах кварц-тиллоэпидитовой фации, залегающих в экзоконтактах субвуоканических тел липаритов, реже оно связано с пиритизированными породами. В одном случае (II-4-I2) содержание золота во вторичных кварцитах составило 1 г/т, серебра - 50 г/т.

Второй участок оквартированных золотосодержащих липаритов приурочен к субвуоканическому телу в верховых Хивягчана; площадь его около 1 км², содержащее золота в отдельных пробах до 0,2 г/т.

В пригустной части руч. Налмы золото обнаружено в оквартированной дайке липарита (II-4-18), секущей итимориты хольчанской свиты. Мощность дайки около 5 м, протяженность 150 м, содержание золота в отдельных штуках - 1 г/т.

Золотоносными являются отдельные кварцевые жилы (II-3-6, 7; II-3-2) в бассейне Хивягчана и зона пиритизации (II-1-2) в бассейне Верхней Хетанджи, находящиеся в осадочных породах Пермского и триасового возраста. Кварцевые жилы мощностью 0,2-0,3 м прослеживаются в северо-восточном направлении на несколько десятков метров. Они сложены массивным белым кварцем, иногда бреектиевой текстуры. Содержание золота 0,1-0,2 г/т, серебра до 10 г/т. Зона пиритизации мощностью около 20 м приурочена к сбросу северо-западного простирания. Первомые породы в зоне разлома интенсивно раздроблены и испещрены пиритом. Содержание золота достигает 0,3 г/т.

В небольших концентрациях золото обнаружено также в кварцевых жилах, секущих гранодиориты, кварцевые диориты, лейкохорватовые грани-ты, габбро (II-1-6; II-3-1; II-3-1; II-2-2, I) в бассейнах Верхней Хетанджи, Средней, Близкой. Кварцевые жилы тянутся к разрывным нарушениям и ориентированы в различных направлениях. Мощность жил 0,2-0,4 м, протяженность не превышает первых сотен метров. Кварц жил, секущих гранодиориты, кварцевые диориты и лейкохорватовые граниты, мессианий, белый с содержанием золота 0,1-0,3 г/т. Кварц жилы, секущие габбро, серый, дугоизогнутый с кубическими кристаллами пирита. Содержание золота 0,5 г/т, серебра - 50 г/т, ванадия - 0,01%.

Кроме отмеченныхрудопроявлений золота, металлометрическим опробованием выявлены вторичные ореолы рассеяния золота, которые в виде прерывистой цепочки прослеживаются в широтном направлении из бас-

сейна Верхней Хетанджи в верховья Хетанджи. Совместно с отдельными рудопроявлениями ореолы рассеяния образуют Хетанджинскую золотоносную зону, где рудогенераторами являются широтные дисъюнктивы. В бассейне Верхней Хетанджи ореолы рассеяния золота (II-1-3, 5), площадью около 10 км² каждый, размежеванные среди лейкохорватовых гранитов. В пределах ореолов широко развиты кварцевые жилы и дайки различного состава. Содержание золота 0,1-0,2 г/т, ртуть - до 0,002%, галлия - 0,01%. Из коренных источников выявлены золотоносные кварцевые жилы (II-1-6).

В бассейне Бургатыкана наиболее интересный ореол рассеяния золота (II-3-4) приурочен к дайке андезитов, секущей территионные подпоры нижнего мела. Здесь пять металлометрических проб показали содержание золота от 0,01 до 5 г/т. Коренные источники не обнаружено. Другой ореол рассеяния (II-3-6) площадью около 60 км² охватывает субвуоканическое тело андезитов, частично шток кварцевых диоритов, секущих нижнемеловые отложения. Содержания золота в зонии 0,01-1 г/т, ртуть 0,001-0,002%. Коренные источники представлены золотоносными кварцевыми жилами среди кварцевых диоритов и верхнетриасовых отложений (II-3-1, 2).

Наиболее крупный ореол рассеяния золота (II-4-1) расположен в бассейне верхнего течения Хетанджи и соглашает с полем метасоматических изменений итиморитов дайгитового состава, андезитов, где сконцентрировано подавляющее большинство коренных проявлений золота. Ориентирован ореол в субмеридиональном направлении,ширина его около 4 км, длина 25 км. Содержание золота изменяется от 0,01-0,3 до 1-2 г/т, кроме того, встречается ртуть (до 0,002%), серебро (до 10 г/т), ванадий (0,05%), галлий (0,01%). Максимальные содержания золота приурочены к экзоконтактам субвуоканических тел липаритов и южной части ореола. В северной части ореола заметно увеличивается число проб с ртутью.

Российские проявления золота в аллювиальных отложениях водотоков образуют обширный ореол рассеяния (II-3-1), охватывающий бассейн Хетанджи, Бургатыкана, Хивягчана, Еланджи, Средней, междууречье Еланджи-Челомжи, где сосредоточены коренные проявления золота. Длина ореола около 80 км, ширина 20-30 км. Ориентирован он в северо-восточном направлении и в общих чертах оконтуривает Верхне-Челомжинскую золотоносную зону.

Золото наблюдается в виде пластинок, чешуек, гальванических зерен. Края иногда изрезаны, но заметно стяжены. Цвет обычно ярко-желтый с красноватым оттенком, реже с зеленоватым (реки Хивягчан, Парус). В бассейне Бургатыкана золото иногда покрыто красно-бурым пленкой гидроокислов же-

леза. Преобладающий размер золотин 0,3-0,6 мм, максимальный 1,5-2 мм. В шлихах обычно наблюдается от 1-2 до 10-15 зерен. Весовые содержания золота (до 0,4 г/т³) установлены в долинах Правой Средней и Еландинки, где коренные источники не обнаружены, а по геоморфологическим данным предполагается древняя (нижнеплейстоценовая) долина. Пробность золота в бассейне верхнего течения Еландинки равна 812.

Таким образом, на территории имеются малочисленные и разрозненные коренные проявления золота мезотермального типа и более широко распространенные – эпигермального типа. Первые локализуются среди пород первого структурного яруса и в интузивных образованиях. Для них характерны небольшие размеры оруднения и низкие содержания золота. Эпигермальные проявления концентрируются в покровах хольчанской, ульинской, реже ольской свит, в районе пересечения двух глубинных разломов. Золотосодержащие тела нередко имеют значительные размеры и характеризуются более высокими содержаниями золота.

Серебро

Кроме того, что серебро отмечено в описанных золотоносных тектонах, небольшое его проявление установлено в верховых Еландинки (Ш-2-2). Здесь, среди глыб гранодиоритов, встречены отдельные обломки кварца с вкрапленностью халькопирита и налетами малахита. Важуально серебряных минералов не наблюдалось. Спектральный анализ штучной пробы показал содержание серебра – 100 г/т, меди – 1%, молибдена – 0,05%.

СТРОИТЕЛЬНЫЕ МАТЕРИАЛЫ

Гранитоиды большинства интузивных тел могут использоваться для приготовления щебня и бутового камня.

Наилучшим качеством строительного камня на территории обладают мелкозернистые лейкократовые граниты, развитые в пределах Верхнечеломджинского массива (правобережье Челомжи, левобережье Верхней Еландинки) на площади около 50 км². Они характеризуются благоприятным минеральным составом, отличающимся высоким содержанием кварца и незначительным количеством стекла, текстурными и структурными особенностями. Габбро верховьев Средней, занимающее площадь около 35 км², могут быть использованы в качестве облицовочного камня. Из благоприятных признаков можно отметить: приятные темно-зеленые тона, обусловленные цветом амфиболов и пироксена; массивную текстуру, наличие мелкозернистых разностей, дающих крупношлойбовый залом.

Базальты, слагающие суборужанические тела в междуречье Бургаликаны-Хетанджи, могут использоваться как сырье для каменного литья. Они обладают благородной структурой (интерсертальной) и необходимым химическим составом ($\text{SiO}_2=49-51\%$; $\text{Fe}_{2\text{O}}\text{3+MgO+CaO}=15-18\%$; $\text{Al}_{2\text{O}}\text{3}=17\%$).

В качестве заполнителей для тяжелых бетонов пригодны аллювиальные галечники, снагающие II надпойменную террасу Челомжи в районе впадения руч. Непалдана. Ширина террасы 4-5 км, протяженность около 15 км. Мощность слоя галечников достигает 10 м. Галька разноразмерная, различной степени окатанности и на 80% сложена лейкократовыми гранитами. Связующая масса состоит из неравномернозернистого аркозового песка и гравия с незначительным количеством слюды.

Технические испытания строительных материалов не проводились.

ПОДЗЕМНЫЕ ВОДЫ

Специальные мерзлотно-тихоходогеологические исследования на территории не проводились. Согласно схеме гидрогеологического районирования Северо-Востока СССР [4] территория расположена в пределах Яно-Колымской гидрогеологической области и Охотско-Чукотской области вулканических супербассейнов. В состав последней входит Яно-Таймырский артезианский бассейн с осадочным чехлом катунского возраста (Эльгендинская и Челомжинская впадины). На гидрогеологической карте Северо-Востока СССР описанная площадь охватывает I и II температурные районы, находясь, таким образом, в зоне перехода столовой многолетней мерзлоты в прерывистую [4]. Для таких участков характерна мощность мерзлых пород под долинами 70-100 м, а под возвышенностями около 200-300 м. Отсутствие столовой многолетней мерзлоты можно предполагать в долине Челомжи и бассейне нижнего течения Еландинки.

По отношению к толще многолетней мерзлоты ползущие воды территории подразделяются на надмерзлотные и полимерзлотные. Надмерзлотные по условиям залегания относятся к водам сезонного слоя и талниковых речных долин.

Воды сезонного слоя прокачивают в рыхлых четвертичных образованиях и местами в верхнем трещиноватом слое коренных пород. Глубина залегания вод от 0,1-0,2 до 3-4 м и определяется величиной сезонного оттаивания грунта, которая зависит от литологического состава пород, экспозиции склонов и т.п.

Воды сезонного слоя беззапорные, они накапливаются в нижних частях речьей, обусловливая заболоченность этих участков, или образуют нисходящие нестационарные источники на склонах гор, де-

бут которых не превышает 1 л/с. Питание вод происходит за счет атмосферных осадков и оттавания деятельного слоя. Уже в начале сентября в связи с наступлением заморозков ледят источники заметно сокращается, а к концу сентября источники прекращают свое существование. Воды этого типа обычно бесцветные, слабо минерализованные, но на заболоченных участках иногда окрашены гуминовыми кислотами (бассейны Эльгенджи, Колчана, Близкого). В летний период воды сезона-ногалого слоя могут использоваться в небольших масштабах для местных нужд.

Подземные воды таликов речных долин на территории установлены в нижней стадии зон аллювиальных отложений Энгедянской впадины на правобережье Бургатыкана [8]. Здесь в мае 1971 г. тремя трубыми вскрыта таликовая зона на глубинах II, 5 и 2 м. Этот талик расположен на правобережье небольшого ручья и имеет уклон (около 30°) в сторону русла. Таликовый горизонт в верхней части сложен песком, в нижней — галечниками; видимая мощность его 5 м. Грунтовые воды дренируют в галечниках и имеют небольшой напор.

Можно предполагать, что аналогичные водноносные талики имеются в поймах крупных рек, таких как Челомджа, Бургатыкан, Буртыкан, Средняя Хетанджа, Хиватана и др. Питание таликовых вод происходит за счет атмосферных осадков, поверхностных вод, оттавания деятельного слоя, а на участках сквозных таликов, возможно также за счет подмерзлотных вод.

Зимой воды таликов речных долин вытекают на дневную поверхность и образуют наледи. Наледи длиной около 1 км имеются в долинах Верхней, Хетанджи, Хиватаны, Хеванджи, Правой Средней, Кутаны, Па-руса. Мощность льда наледей от 0,5 до 2-3 м. Чаще всего наледи наблюдаются в близи устьев притоков, все они однолетние и ставят в июле-августе.

Грунтовые воды таликов речных долин являются основным и наименее источником питьевого и технического водоснабжения на Северо-Востоке СССР. В большинстве случаев в соседних районах они относятся к гидрокарбонатно-кальциевым с минерализацией до 100 мг/л, обладают хорошими питьевыми качествами и не имеют запаха.

Подмерзлотные воды в районе не установлены. По аналогии с прилегающими территориями следует ожидать широкое развитие подмерзлотных вод трещинного и трещинно-жильного типа. Такие воды обнаружены в сопредельном районе на глубине 84 м при разведке угольного месторождения в бассейне Широкой [19]. Каже, в бассейне нижнего течения Бургатыкана, известен восходящий источник подмерзлотных вод. Температура его воды не превышает 2-3°, лейт около 10 л/с. По химическому составу воды относятся к хлоридно-гидрокарбонатно-натриевым с минерализацией 60 мг/л [4].

ОЦЕНКА ПЕРСПЕКТИВ РАЙОНА

Перспективы района в отношении полезных ископаемых определяются прежде всего его положением на западном фланге Охотско-Чукотской золотоносной субпровинции [7], где в последнее десятилетие геологами Северо-Востока СССР открыты весьма перспективные золото-серебряные месторождения эпигермального типа. Из других полезных ископаемых здесь могут быть открыты и разведены месторождения горючих ископаемых, строительных материалов, подземных вод.

Наиболее практический интерес представляет в настоящее время участок концентрации золото-серебряных проявлений в бассейне верхнего течения Хетанджи. Из благоприятных общегеологических факторов, отмечаемых П.В.Баскиным, В.П.Засыленко, А.А.Сидоровым [1] и другими геологами как контролирующими золотое оруденение в Охотско-Чукотском вулканогенном поясе, здесь можно назвать следующие: расположение участка в районе пересечения двух губинных разломов и приуроченность его к периферической части отрицательной структуры (Нелинская структура обрушения), ограниченной колыцевыми сбросами; контрастность состава вулканогенных образований и присутствие серий щелочных пород, наличие покровов ольских итникоритов — потенциальных эраканов.

Прямые поисковые признаки — шлиховой и металлогеометрический ореолы рассеяния золота, поля метасоматически измененных пород, имеющих кварцевые жили, зоны проблемы и кварцевого прожилкования, окварцованные лайки с содержанием золота 1-3 г/т и до 1000 г/т серебра. Здесь выявлено съше 30 кварцевых жил мощностью от 0,2 до 2-3 м и протяженностью в несколько сотен метров.

В 1970 г. на участке были выполнены геологическая съемка

м-ба 1:50 000 и комплекс поисковых работ, однако полученные данные не позволяют в настоящее время однозначно оценить объект. Содержание золота в металлогеометрических пробах от 0,01-0,1 до 1-2 г/т. Общая геологическая ситуация, наличие прямых поисковых признаков, открытие Бургатыканского золото-серебряного месторождения в периферийской части Нелинской структуры обрушения позволяет считать бассейн верхнего течения Хетанджи первоочередным объектом для поисков золото-серебряных месторождений эпигермального типа. Рекомендуется постановка площадной металлогеометрической съемки м-ба 1:25 000 - 1:10 000 на двух участках: в междуручье Нелина-Хетанджи и истоках Хетанджи (рис.5). Общая площадь около 50 км². В комплексе с металлогеометрией целесообразно выполнить площадную электроразведку с последующей детализацией наиболее интересных участков методом ИК.

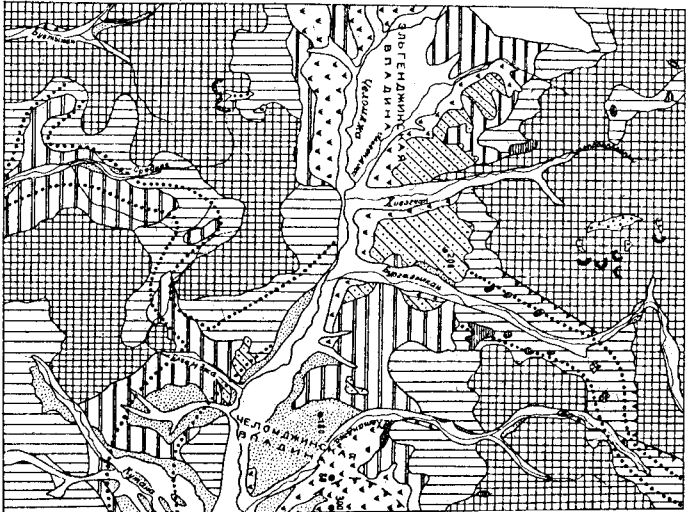
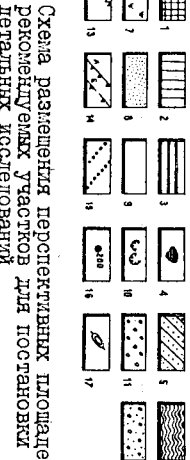


Рис. 5. Схема размещения перспективных площадей и рекомендаций участков для постановки более



площади перспективные для поисков месторождений: 1 - эпигенетических золото-серебряных; 2 - неавстриальных золото-серебряно-металлических и эпигенетических золото-серебряных; 3 - мезотермальных золото-серебряно-вольфрамовых; 4 - золотых изв.-и эпигенетических; 5 - оловянно-вольфрамовых; 6 - каменно-угольных; 7 - бурого угля; 8 - обильного щебня; рекомендуемые участки: 9 - для постановки геологической съемки М-ба 1:50 000, поиск коренных и россыпных месторождений золота в комплексе с электр- и матноразведкой (в первую очередь); 10 - то же во вторую очередь; 11 - для поиска коренных золото-серебряных месторождений геокимическим методом в комплексе с электроразведкой; 12 - для поисков россыпей золота (горные работы в комплексе с вертикальным электрораззонированием).

Вторым перспективным объектом для поисков золото-серебряных месторождений являются бассейны Бутыкана, Средней, Штанги, где Верхне-Челомжинский интрузив пересекается глубинным разломом северо-восточного простирания. Здесь имеется, по-видимому, зонированная интузивно-контактная структура с широко развитыми кольцевыми и радиальными дайкононтами. Из благоприятных общеgeологических факторов следует отметить также контрастность состава интузивных и вулканических пород, наличие полей гидротермально измененных и грейзенизованных пород, кварцевых жил. К прямым поисковым признакам относятся: шлиховой ореол рассеяния золота, кварцевые жилы, секущие эфузивы и интузивные образования с содержаниями золота до 0,5 г/т и серебра до 100 г/т. Золото ассоциирует с редкими металами и оловом, что, возможно, объясняется значительным эрозионным срезом и металлогенической специализацией интузивных пород Верхне-Челомжинского массива.

На этом объекте, на площади около 1000 км² (см.рис.5) рекомендуется постановка геологосъемочных работ М-ба 1:50 000 с целью поисков коренных и россыпных месторождений золота. Наряду с золото-серебряными месторождениями вполне вероятно обнаружение и золото-редкометаллических. Поиски россыпей золота следует начать в бассейнах Правой Средней, Средней, Штанги, где установлены весовые содержания золота и по геоморфологическим данным намечается древняя долина, испытывавшая умеренное поднятие в течение среднего и верхнего плейстоцена. Здесь могут быть обнаружены небольшие россыпи типа Асибетганской и Перевальнинской, известные на территории листа Р-55-ХХII в аналогичной геологической обстановке. Весовые содержания касситерита в аллювиальных притоках Челомжи, проницающих лейкократовые граниты, свидетельствуют о перспективности этого района для поисков месторождений олова.

К объектам второй очереди для постановки геологосъемочных работ М-ба 1:50 000 относятся бассейны Хиветана и Верхней Штанги, расположенные на западном фланге Хетанджской золотоносной зоны. Практический интерес могут представлять гидротермальные образования среди лейкократовых гранитов, в районе пересечения их системой близких дайкононтов, контролирующих золотое оруденение. На левобережье и правобережье Верхней Хетанджи установлены небольшие металлометрические ореолы рассеяния и коренные проявления с содержаниями золота 0,1-0,2 г/т. Аналогичные проявления известны и в терригенных породах первого и триасового возраста. Учитывая величину эрозионного среза, который для терригенной толщи определяется в 1500-2000 м, здесь представляется возможным выявление небольших россыпных месторождений. К экзоконтакту массива лейкократовых гранитов прилегают

российские прошения касситерита с содержанием до 40 г/т, позволяющие надеяться на обнаружение промышленно интересных коренных источников олова.

Заслуживают внимания россыпные проявления золота в пределах древней долины Бургатыкана, весьма благоприятный облик рельефа (расщепленное низкогорье с решеткой высоких террас), формированного в условиях умеренного поясности, и наличие тихового золота почти во всех боковых притоках указывают на возможность обнаружения промышленных концентратов металла. Рекомендуются шурфовые (или буровые) работы, а также изучение древней долины методом вертикального электропрофилирования.

Из горючих ископаемых на территории могут быть выявлены не большие по размерам месторождения каменного и бурого угля, а также разведаны значительные запасы торфа. Угленосность связана с нижнемойвой молассой (бассейн Хивачана, Бургатыкана), а также предполагаются угленосные отложения в Зильмединской и Челоминской впадинах по аналогии с соседними районами, где плиоценовые образования Ямо-Тайской системы впадин нередко содержит пласты бурого угля [3]. Торфники могут быть разведаны в бассейнах нижних течений Хетанджи и Кутана. Однако, учитывая значительную удаленность территории от экономически освоенных районов, отсутствие дорог, проведение специальных поисковых работ на горючие ископаемые в настоящее время неподходящимо.

Перспективы нефтегазоносности территории крайне ограничены. Они связаны с возможной газоносностью неогеновых отложений, наличие которых предполагается под рядами четвертичными образованиями впадин. Однако трудно ожидать значительные мощности этих отложений на окраине Ямо-Тайской системы впадин, что отчасти подтверждается и геобиологическими исследованиями [8].

Территория перспективна на строительные материалы. На правобережье Челомиджи, в пределах развития лейкогранитовых гранитов, могут быть разведаны значительные запасы строительного камня хорошего качества. Для каменного литья пригодны субулканические базальты бассейна верхнего течения Хетанджи. В верховых Средней могут быть выявлены большие запасы облицовочного камня (абаро). Имеются практически неограниченные запасы бутового камня, для приготовления которого пригодны гранитоиды Маймандинского и Верхне-Челомиджинского массивов. Для оценки запасов галенитов, заполнителей для железобетонов, необходима постановка разведочных работ на правобережье Челомиджи, а поиски их можно вести в долинах большинства водотоков.

Постановка работ, в первую очередь на золото, на рекомендованных площадях несомненно будет способствовать выполнению новых промышленно-ценных объектов в дополнение к открытому на притяжении территории Бургатыканскою золото-серебряному месторождению, что в совокупности позволит создать национальную минерально-сырьевую базу для развития горнорудной промышленности.

ЛITERATURA

О ПУБЛИКАЦИЯХ

1. Барбух Г.Р., Джалленко В.Г., Сидоров А.А. Структурный контур золото-серебряного оруденения "Колыма", 2, Магадан, 1973.
2. Белий В.Ф., Николаевский А.А., Тильман С.М., Шило Н.А. Тектоническая карта Северо-Востока СССР (масштаб 1:2 500 000). Тр. СЭКИИ, вып. II, Магадан, 1964.
3. Геология СССР, том XXI, Северо-Восток, ил., "Недра", 1970.
4. Гидрогеология СССР, том XVI, Западо-Восток, ил., "Недра", 1972.
5. Закамбаркин В.В. Геологическая карта СССР №-ба I:200 000. Серия Магаданская, лист Р-56-XXI. Ил., "Недра", 1955.
6. Закамбаркин В.В. Геологическая карта СССР №-ба I:200 000. Серия Верхне-Колымская, лист Р-55-XXII. Госгеолтехиздат, 1953.
7. Матвеенко В.Т. Объяснительная записка к металлогенической карте Востока СССР №-ба I:1 500 000 (золото), отчет по теме 289а, Ленинград, 1970.

ФОНДОВАХ

8. Бобрык И.А. Отчет о геологической съемке №-ба I:50 000 (листы Р-55-125-Б, Р-55-126-А, Б, В, Г) и поисках рудных золото-серебряных месторождений эпигермального типа в междуручье Хетанджи и Бургатыкана - левых притоков р. Челомиджи (Хетанджинская геологосъемочная партия), 1973.
9. Шилов А.С. Отчет о работе Сеймантанской аэромагнитной партии, 1959, № 012907.

*) Работы хранятся в геологическом фонде Северо-Восточного отделения Трудового Красного Знамени территориального геологического управления.

Приложение

10. Злобин К.Т. Отчет о работе Кана-Чалымдинской геологорекогносцировочной партии о геологических исследованиях в районе Кана-Чалымдинского месторечья, м-б 1:500 000, 1951, № 8899.

11. Закадирин В.В. Отчет о работе Чалымдинской геологореконной партии м-ба I:500 000, 1957, № 012196.

12. Каутич Х.И. Геологическое строение области Охотско-Кулинского водораздела (стратиграфия и тектоника). 1950, № 8241.

13. Карнаев В.П. Информационный отчет о результатах полевых работ Хетандинской геологореконной партии м-ба I:50 000. 1971, № 0648.

14. Литвинов В.Е. Отчет о геологической съемке м-ба I:200 000 (лист Р-55-ХХIII) в бассейне р. Чалымки (Верхне-Чалымдинская геологосъемочная партия). 1973.

15. Мостаков В.А., Лисицын В.И., Архипенко К.И., Вишкова Л.Я. Отчет о работе Сеймчанской гравиметрической партии м-ба I:1 000 000. 1965, № 014747.

16. Осипов А.П., Тайдицев Г.В. Геологическая карта СССР масштаба 1:200 000. Серия Верхне-Колымская, лист Р-55-ХХIII. 1968, № 0877.

17. Павлов И.А. Отчет о работе Бургатыканской геологореконной партии м-ба I:50 000. 1970, № 0016052.

18. Петров П.С. Отчет о работе Чалымдинской геолого-рекогносцировочной партии м-ба I:500 000. 1944, № 6244.

19. Петрилев А.С. Отчет о геологоразведочных работах по Чалымдинскому каменноугольному месторождению за период с 1951 по 1953 г. 1954, № 7824.

20. Тарифилев Г.В. Окончательный отчет о работе Малмыжинской геологореконной партии м-ба I:200 000. 1967, № 015244.

21. Эштебен О.Г. Отчет по теме 810. Литология и условия образования пермских вулканическо-осадочных пород южной части Яно-Коми-кот складчатой области. 1971, № 016269.

Список

проявлений полезных ископаемых, показанных на листе Р-55-ХХIII карты полезных ископаемых м-ба I:200 000

Индекс клетки на карте	№ на карте	Название (местонахожде- ние проявления)	Ссылка на литературу (номера по списку лите- ратуры)	Примечание
I	2	3	4	5

Т е р д и е г о р я ч и е
и с к о п а е м ы

Изменный утоль

I-2 | 3 | р.Хиваган | 18 | Деловой

М е т а л и ч е с к и е и с к о п а е м ы

Ц в е т н ы е м е т а л ы

Съемка

I-2 | 1 | руч.Икар | 14 | Коренной
выход

I-2 | 2 | руч.Икар | 14 | Залывной
коренной
выход

I-4 | 10 | р.Хетанды | 8 | Коренной
выход

Цинк

Ш-1 | 4 | р.Бутыкан | 14 | Деловой

ГУ-1 | 1 | " " | 14 | То же

Олово

I-I | 4 | руч.Икар | 14 | Ореол рассеян-
ния (штоковое
опробование)

Ш-1 | 1 | руч.Нелкалан | 14 | То же

ГУ-1 | 3 | руч.Ясалган | 14 | Ореол рассеян-
ния (металло-
метрическое
опробование)

I	2	3	4	5
Р е д к и е м е т а л л и и р а с с е н и я з л е м е н т и				
Молибден				
III-I	5	р.Бутыкак	I4	Коренной выход
IV-I	2	- " -	I4	Эловый
IV-2	1	руч.Восточный	I4	Деловий
I-I	1	Вольдрам	I4	Деловий
II-2	1	р.Берхная Хетанда	I4	Ореол рассеяния (тиховое опробова- ние)
III-2	3	р.Бутыкак	I4	То же
Б л а г о р о д н ы М е т а л л и				
Золото				
I-I	2	р.Верхняя Хетанда	I4	Коренной выход
I-I	3	То же	I4	Руч.Недель
I-I	5	р.Верхняя Хетанда	I4	Руч.Хетанда
I-I	6	То же	I4	Деловий
I-2	4	р.Хивэгчан	I4	Эловый
I-2	5	- " -	I4	Коренной выход
I-2	6	- " -	I4	Эловый
I-2	7	- " -	I4	Деловий
I-2	8	р.Бутыкак	I4	Эловый
I-3	2	- " -	I4	Деловий
I-3	3	- " -	I4	Коренной выход
I-3	4	- " -	I4	Эловый
I-3	5	р.Бутыкак	I4	Деловий
I-3	6	руч.Ледо	I4	Эловый

I	2	3	4	5
р.Хетанда				
8, I4 Ореол рассеяния (металлографическое опробование)				
I-4	2	- " -	I4	Эловый
I-4	3	- " -	I4	Коренной выход
I-4	4	руч.Недель	I4	Эловый
I-4	5	- " -	I4	Деловий
I-4	6	р.Хетанда	I4	Эловый
I-4	7	- " -	I4	То же
I-4	8	руч.Недель	I4	- " -
I-4	9	р.Хетанда	I4	Деловий
I-4	10	- " -	I4	Эловый
I-4	11	- " -	I4	Коренной выход
I-4	12	- " -	I4	Эловый
I-4	13	- " -	I4	Деловий
I-4	14	- " -	I4	Эловый
I-4	15	- " -	I4	Деловий
I-4	16	руч.Недель	I4	Эловый
I-4	17	- " -	I4	Деловий
I-4	18	- " -	I4	Эловый
I-4	19	- " -	I4	То же
I-3	1	р.Бутыкак	I4	- " -
I-3	2	- " -	I4	Коренной выход
I-3	3	руч.Недель	I4	Деловий
I-4	1	р.Средняя	I4	Эловый
III-2	1	р.Бутыкак	I4	Коренной выход
III-3	1	р.Бутыкак	I4	Эловый
IV-I	3	р.Бутыкак	I4	Ореол рассеяния (тиховое опробова- ние)
III-2	2	р.Бутыкак	I4	Эловый
III-2	1	р.Средняя	I4	- " -
III-3	1	р.Бутыкак	I4	Ореол рассеяния (тиховое опробова- ние)
IV-I	3	р.Бутыкак	I4	Эловый
Серебро				
I4 Деловий				